



OCTOBRE — 2025



PROTÉGER LES PERSONNES ET L'ENVIRONNEMENT DES RISQUES RADIOLOGIQUES ET NUCLÉAIRES

Créée en janvier 2025, l'ASNR (Autorité de sûreté nucléaire et de radioprotection) est l'autorité administrative indépendante chargée de contrôler, au nom de l'État, les activités nucléaires civiles en France.

Elle contribue à l'élaboration de la réglementation, expertise la sûreté des installations nucléaires, évalue les risques liés à l'usage des rayonnements ionisants et mène des programmes de recherche pluridisciplinaires, dans les domaines de la sûreté nucléaire et de la radioprotection.

L'ASNR assure une surveillance radiologique de l'environnement. En situation d'urgence radiologique, l'ASNR conseille les autorités sur les actions de protection de la population.

L'ASNR mène ses missions au service de la sûreté et de la radioprotection en toute indépendance visà-vis des pouvoirs publics, des opérateurs et des intérêts privés. Elle est guidée par des principes de rigueur et d'impartialité, d'intégrité scientifique et d'éthique. Elle s'appuie, pour prendre ses décisions, sur les connaissances scientifiques les plus récentes, l'expertise des meilleurs spécialistes et le sens de la proportion aux enjeux.

L'ASNR s'inscrit dans une démarche continue de dialogue avec les parties prenantes. Elle veille à ce que les citoyens disposent d'une information claire et fiable sur les enjeux nucléaires et radiologiques et puissent participer à l'élaboration de ses décisions ainsi qu'à ses activités d'expertise et de recherche.

L'ASNR contribue au développement de la culture de sûreté et de radioprotection auprès des professionnels par son offre de formation et auprès des citoyens par la promotion des connaissances scientifiques et des comportements appropriés face aux différentes situations d'exposition aux rayonnements ionisants.

Au 1er janvier 2025, l'ASNR rassemble

2085

personnels de statuts public et privé

Pour mener à bien ses missions, elle dispose d'un budget de

380 M€

(budget 2025 incluant les recettes issues des activités de l'ASNR)



RÉSUMÉ

La surveillance radiologique de l'environnement est exercée par le Laboratoire d'Étude et de Suivi de l'Environnement (LESE) depuis 1962¹ en Polynésie française hors des sites d'expérimentations nucléaires de Moruroa et Fangataufa. Cette surveillance consiste à prélever régulièrement des échantillons de nature variée dans les différents milieux (atmosphérique, terrestre et marin) avec lesquels la population peut être en contact et notamment dans les denrées alimentaires issues du milieu marin de pleine mer, du milieu marin lagonaire et du milieu terrestre.

En 2023-2024, les denrées alimentaires proviennent des 7 îles représentatives des cinq archipels de la Polynésie française et faisant l'objet d'un suivi régulier (Tahiti, Maupiti, Hao, Rangiroa, Hiva Oa, Mangareva et Tubuai) et de 2 îles supplémentaires : Takapoto et Bora-Bora. La plupart des échantillons ont été transmis au LESE par des correspondants localisés sur les différentes îles. Les prélèvements d'aérosols de l'air, d'eau de mer, et d'eau de pluie ont, pour leur part, été effectués à Tahiti par le LESE.

Les niveaux de radioactivité artificielle sont dans la continuité de ceux des années antérieures ; ils se situent à un niveau très bas. Cette radioactivité résiduelle est essentiellement attribuable au césium 137 (137Cs). Pour de nombreuses denrées, les concentrations de 137Cs sont aujourd'hui trop faibles pour être mesurées (inférieures aux seuils de décision des appareils de mesure) malgré la mise en œuvre de moyens parmi les plus performants.

La dose efficace annuelle pour les adultes Polynésiens résultant de toutes les sources de rayonnement, naturelles et artificielles, est estimée autour de 1,7 mSv/an pour les adultes vivant à Tahiti, hors exposition médicale. Cette valeur dosimétrique diffère légèrement de l'estimation du précédent bilan (1.4 mSv/an) en raison de l'application d'un nouveau coefficient de dose pour le radon. Depuis les années 2010, des études scientifiques suggèrent un niveau de radiotoxicité de ce gaz radioactif naturel plus élevé que les estimations antérieures, ce qui a conduit la réglementation française à introduire un nouveau coefficient de dose pour le radon². Ce nouveau coefficient a une valeur qui est plus du double de celle qui figurait dans la réglementation antérieure. Il en résulte une augmentation

proportionnelle des doses estimées dans le présent bilan pour l'exposition au radon par rapport à celles qui étaient estimées avec l'ancienne valeur réglementaire.

La dose efficace annuelle est quasi-totalement attribuable au rayonnement cosmique et aux éléments radioactifs naturels, moins de 0,1% étant dû à la radioactivité d'origine artificielle résultant des essais nucléaires français et internationaux.

La dose efficace annuelle due à la radioactivité naturelle pour un adulte polynésien est inférieure à la dose efficace annuelle moyenne à l'échelle mondiale [1], estimée à 3 mSv et où prédomine l'exposition au radon qui est moins abondant dans l'air en Polynésie française.

Enfin, il faut signaler que dans le cadre des Jeux Olympiques de Paris 2024, le LESE a assuré une surveillance radiologique renforcée sur le site olympique qui a accueilli les épreuves de surf à la demande des pouvoirs publics.



¹ Le LESE dépendait alors du Commissariat à l'énergie atomique (CEA). À partir de 1982, le LESE a été rattaché au CEA-IPSN (Institut de protection et de sûreté nucléaire), devenu ensuite l'Institut de radioprotection et de sûreté nucléaire (IRSN), indépendant du CEA, après fusion entre l'IPSN et l'Office de protection contre les rayonnements ionisants (OPRI); depuis le 1^{er} janvier 2025 et la fusion entre l'IRSN et l'Autorité de Sûreté Nucléaire (ASN) pour créer l'Autorité

de Sûreté Nucléaire et de Radioprotection, le LESE appartient à cette autorité.

² Arrêté du 16 novembre 2023 définissant les modalités de calcul des doses efficaces et des doses équivalentes résultant de l'exposition des personnes aux rayonnements ionisants. JORF du 25 novembre 2023

SOMMAIRE

IN.	TRODUCTION	6
	L'ANTENNE POLYNESIENNE DE L'ASNR	6
	BILAN DE LA SURVEILLANCE DE LA RADIOACTIVITE EN POLYNESIE FRANCAISE	7
1.	LA POLYNESIE FRANÇAISE	8
	1.1. LES ÎLES HAUTES	
	1.2. LES ATOLLS	
_	LOCALISATIONS ET PRELEVEMENTS	
۷.		
	2.1. TYPES DE PRELEVEMENTS ET FREQUENCE	
	Surveillance des milieux	
	2.2. LIEUX DE PRELEVEMENTS	
	2.3. TRAITEMENTS DES PRELEVEMENTS	9
3.	NIVEAUX DE RADIOACTIVITE ET EVOLUTION	11
	3.1. LA RADIOACTIVITE DANS LES ECHANTILLONS DES MILIEUX	12
	Dans l'air	
	Dans les aérosols	12
	Dans l'eau de mer	14
	Dans l'eau de pluie	14
	Dans les sols	14
	FOCUS SECURISATION DE L'EPREUVE DE SURF DES JEUX OLYMPIQUES DE PARIS 2024	15
	3.2. LA RADIOACTIVITE DANS LES DENREES ALIMENTAIRES	16
	Dans le milieu marin	17
	Dans le milieu terrestre	19
	FOCUS MESURE DU CESIUM-137 DANS L'HUÎLE DE TAMANU	23
4.	EXPOSITION DE LA POPULATION AUX RAYONNEMENTS IONISANTS EN	
	POLYNÉSIE FRANÇAISE	2 4
	4.1. SOURCES D'EXPOSITION	25
	4.2. EVALUATION DES DOSES EFFICACES ANNUELLES EN POLYNESIE FRANCAISE	26
	Dose efficace annuelle liée à l'exposition externe	26
	Dose efficace annuelle liée à l'inhalation	26
	Dose efficace annuelle liée à l'ingestion	26
	Dose efficace annuelle totale	27
	FOCUS Autres sources d'exposition	28
	4.3. EVOLUTION DE LA DOSE EFFICACE ANNUELLE AJOUTEE PAR LA RADIOACTIVITE ARTIFICI A TAHITI DEPUIS 1975	
	ONCLUSION	20
U	/ITVLUJIVIT	30



TAXONOMIE	32
REFERENCES	34
BIBLIOGRAPHIE	34
LICTE DEC II LUCTRATIONS ET DES TADI FALIV	25



INTRODUCTION

L'ANTENNE POLYNESIENNE DE L'ASNR

Le LESE (Laboratoire d'Étude et de Suivi de l'Environnement), antenne polynésienne de l'ASNR (résultant de la fusion de l'IRSN et de l'ASN), est implanté à Vairao (Tahiti) depuis 2009, après avoir été basé à Mahina (Tahiti). La surveillance radiologique de la Polynésie française a été mise en place à l'époque des essais aériens d'armes nucléaires effectués par les grandes puissances militaires (États-Unis, Union soviétique, Royaume-Uni, France, Chine). Ces essais atmosphériques réalisés entre 1945 et 1980 ont généré des retombées de radionucléides artificiels sur l'ensemble de la surface de la planète. En Polynésie française, le LESE s'est plus particulièrement intéressé aux retombées des quarante et un atmosphériques réalisés par la France dans cette région du globe entre 1966 et 1974 et à leurs conséquences sur les populations. La surveillance de la radioactivité en Polynésie française a commencé dès 1962. antérieurement à l'ouverture du Centre d'Expérimentation du Pacifique (CEP) en 1964. Dès l'origine, cette surveillance s'inscrivait dans le cadre plus large du Réseau Mondial Français de Surveillance Radiologique (RMFSR).

Aujourd'hui, de la même manière que dans l'hexagone, le LESE poursuit la surveillance radiologique de l'environnement. Aujourd'hui, la radioactivité d'origine artificielle est essentiellement due à la rémanence³ des retombées atmosphériques des essais d'armes nucléaires réalisés en Polynésie française (retombées locales/régionales) et dans le reste du monde (retombées mondiales) – césium-137 (¹³⁷Cs), strontium-90 (⁹⁰Sr), tritium (³H), carbone-14 (¹⁴C) et isotopes de l'uranium et du plutonium – à laquelle s'ajoutent les retombées de plutonium-238 (²³⁸Pu) issues de la désintégration du satellite SNAP-9A en 1964 :

- la plupart de ces radionucléides se trouvent dans les sols où seul le ¹³⁷Cs contribue à l'exposition externe⁴ de la population ;
- ils peuvent ensuite être transférés dans les denrées issues de l'agriculture, de l'élevage ou de la pêche et ainsi être incorporés par ingestion;
- les concentrations de ces radionucléides dans l'air sous forme d'aérosols est aujourd'hui négligeable.

La surveillance est focalisée sur sept îles sélectionnées depuis 1998 pour être représentatives des cinq archipels de la Polynésie française auxquelles s'ajoutent depuis 2015 une ou des île(s) supplémentaire(s) différente(s) chaque année. Elle consiste à prélever régulièrement et à mesurer la radioactivité des échantillons de nature variée (air, eau, sol, denrées alimentaires...).

Une vocation environnementale renforcée

La diminution dans l'environnement des niveaux de radioactivité d'origine artificielle et la nécessité de mieux répondre à des demandes sociétales a conduit le LESE à infléchir progressivement sa stratégie de surveillance, en réorientant son réseau de mesures à vocation initialement sanitaire, vers un réseau qui doit permettre de mesurer aussi finement que possible les niveaux de radioactivité encore observables aujourd'hui dans l'environnement.

Des expertises ponctuelles

En complément de cette surveillance pérenne, le LESE effectue des expertises ponctuelles pour le compte des autorités du Pays ou pour des organismes de l'État comme par exemple pour le contrôle des anciens sites du CEP (Centre d'Expérimentation du Pacifique) lors de leurs déconstructions.

Appui aux pouvoirs publics en situation de crise

Le faible nombre d'installations nucléaires dans l'hémisphère sud, éloignées des territoires français du Pacifique, rend très improbable une situation de crise radiologique. Cependant, si un accident survenait, malgré un transfert par voie atmosphérique ou océanique très limité, les échanges commerciaux et la migration des poissons nécessiteraient des mesures de contrôle. Ainsi, en mai 2011, l'IRSN a renforcé ses contrôles pour confirmer l'absence d'impact radiologique par voie atmosphérique en Polynésie française et en Nouvelle-Calédonie pendant plusieurs semaines après l'accident nucléaire de Fukushima au Japon.



³ Persistance dans l'environnement des polluants radioactifs provenant des retombées des essais atmosphériques d'armes nucléaires

⁴ Les autres radionucléides artificiels présents dans les sols n'émettent pas de rayonnement gamma susceptibles de contribuer significativement à l'exposition externe

BILAN DE LA SURVEILLANCE DE LA RADIOACTIVITE EN POLYNESIE FRANCAISE

Le présent rapport concerne le bilan de la surveillance radiologique pour les années 2023 et 2024 en Polynésie française. Ce bilan, comme les précédents, s'appuie sur les résultats des analyses effectuées sur différents compartiments de l'environnement. Des chroniques temporelles servent à rendre compte de l'évolution de la concentration des radionucléides artificiels dans les milieux et dans les denrées. Une évaluation de l'exposition radiologique des populations est ensuite effectuée sur la base des résultats de mesures.

Une annexe à ce rapport [2], consultable sur le site internet de l'ASNR (www.asnr.fr), présente de façon exhaustive les résultats des mesures effectuées en 2023-2024. Ces résultats sont aussi accessibles à travers le Réseau national de mesure de la radioactivité de l'environnement (RNM, www.mesure-radioactivite.fr) ou téléchargeable via l'entrepôt de données de la surveillance radiologique de l'ASNR (https://www.data.gouv.fr/datasets/donnees-de-la-surveillance-radiologique-de-lenvironnement-menee-par-lasnr-en-france/).



1. LA POLYNESIE FRANÇAISE

Description sommaire de la Polynésie française et du mode de vie de ses habitants

La Polynésie française, presque 3 000 km d'est en ouest et 2 000 km du nord au sud, représente dans le Pacifique sud une surface de 5 millions de kilomètres carrés d'océan pour une superficie de terres émergées d'environ 3 500 km². Elle est constituée de 118 îles, hautes et atolls, regroupées en cinq archipels : la Société, des Tuamotu, des Gambier, des Australes et des Marquises. Seules 76 îles sont habitées et l'essentiel de la population vit sur l'île de Tahiti (70 %). Environ 280 000 habitants ont été recensés en 2022 en Polynésie française [3]. Du fait de la grande étendue de la Polynésie, les conditions climatiques sont diverses et même très variables localement à petites distances (cas de la pluviométrie en particulier). Le climat des Marquises, des Tuamotu et de la Société est tropical humide alors que le climat des Australes et des Gambier est proche de celui des zones tempérées. Les températures chaudes, le bon ensoleillement, les précipitations modérées avec des contrastes saisonniers relativement faibles favorisent un mode de vie essentiellement à l'extérieur des habitations.

1.1. LES ÎLES HAUTES

Les îles hautes (*Figure 1*) sont des îles récentes au sens géologique, pouvant culminer jusqu'à plus de 2 000 m, avec parfois des vallées étroites et encaissées, et dont les barrières récifales sont quelquefois incomplètes (Tahiti) ou inexistantes (îles des Marquises).



Figure 1 : Tahiti (archipel de la Société)

L'habitat est situé pour l'essentiel au niveau de la ceinture littorale. Les cultures maraîchères et fruitières de même que l'élevage y sont pratiqués ainsi que la pêche. À Tahiti, le régime alimentaire est varié et les productions en provenance de Tahiti et des autres îles peuvent y être trouvées en abondance (poissons, mollusques, crustacés, légumes, fruits, viandes).

On y trouve également des produits importés, principalement de métropole, de Nouvelle-Zélande, des États-Unis et d'Asie. Les autres îles hautes sont un peu moins bien approvisionnées que Tahiti en diversité de produits mais disposent d'un large éventail de denrées locales (fruits, légumes, produits de la pêche) et de denrées de première nécessité importées (riz, farine, huile, sucre...) arrivant par liaisons maritimes régulières.

1.2. LES ATOLLS



Figure 2 : Reitoru (atoll des Tuamotu de l'est)

Les atolls (Figure 2) sont des îles de formation plus anciennes pour lesquelles la barrière récifale est fermée ou quasiment fermée et constitue la seule part de terre émergée, l'île volcanique centrale s'étant petit à petit enfoncée au cours des millénaires passés. Ces îles basses ou atolls sont de simples anneaux de corail, à fleur d'eau, avec essentiellement des plantations de cocotiers. Le régime alimentaire de leurs habitants est principalement constitué des produits de la pêche locale, de lait et d'eau de coco ainsi que de viande de porc et de poulet provenant de quelques élevages familiaux. Les denrées importées et en provenance des autres îles sont, en général, moins nombreuses et arrivent plus irrégulièrement que dans les îles hautes.



2. LOCALISATIONS ET PRELEVEMENTS

Ce chapitre présente les différents types de prélèvements réalisés dans le cadre de la surveillance radiologique en Polynésie française, leur fréquence de prélèvement et leur localisation dans les différents archipels.

2.1. TYPES DE PRELEVEMENTS ET FREQUENCE

La sélection des prélèvements est orientée en fonction des objectifs de la surveillance :

- suivre les niveaux de la radioactivité d'origine artificielle dans l'environnement et dans les denrées alimentaires;
- estimer l'exposition radiologique des populations.

Surveillance des milieux

Il s'agit de prélèvements d'aérosols de l'air, d'eau de mer, d'eau de pluie et de sols. Les prélèvements d'aérosols sont effectués tous les mois durant une dizaine de jours consécutifs, soit douze échantillonnages annuels. Les eaux de pluies sont recueillies en permanence et font l'objet d'une analyse semestrielle. Les prélèvements d'eau de mer sont ponctuels et réalisés une fois par an.

Surveillance des denrées alimentaires

Il s'agit de prélèvements de denrées alimentaires locales (boissons, viandes, légumes feuilles, légumes fruits, légumes racines, fruits, poissons pélagiques, poissons de lagon, bénitiers) complétés par des produits importés (lait, viande d'agneau, viande de bœuf et riz). La baisse continue des niveaux de radioactivité dans l'environnement dans un contexte où il n'y a pas de nouvelle source de contamination potentielle, ont conduit le laboratoire à adapter ses plans de prélèvements. Les constats réalisés ces dernières années montrent que pour une proportion relativement importante d'échantillons les teneurs en ¹³⁷Cs ne sont plus quantifiables malgré les protocoles d'analyse les plus performants dans le domaine de la mesure des traces. Seules quelques denrées communes à plusieurs îles ont été conservées comme indicateurs dans les différents milieux afin d'observer l'évolution temporelle de la concentration en ¹³⁷Cs.

La dose efficace par ingestion pour l'île de Tahiti a été estimée à partir des résultats d'analyses d'une série de plateaux-repas prélevés de 2016 à 2020. Cette moyenne étant considérée représentative pour le début des années 2020, il n'y a pas eu d'analyses de plateaux repas en 2023 et 2024.

2.2. LIEUX DE PRELEVEMENTS

L'échantillonnage dans les milieux est réalisé à **Tahiti**, hormis pour l'étude spécifique des sols pour laquelle une étude sur plusieurs années permet d'estimer un inventaire de la radioactivité déposée sur le territoire. Les derniers prélèvements de sols de cette étude ont été effectués à **Moorea** (archipel de la Société) en 2025.

L'échantillonnage des denrées alimentaires a concerné, en 2023-2024, neuf îles (six îles hautes et trois atolls). Sept de ces îles sont échantillonnés chaque année depuis 1998. Le choix de ces îles répond à plusieurs impératifs :

- couvrir géographiquement l'ensemble du territoire ;
- représenter les cinq archipels ainsi que les deux catégories d'îles;
- tenir compte de la démographie en retenant les îles les plus peuplées ;
- prendre en compte la position des deux atolls de Moruroa et Fangataufa, supports des essais nucléaires atmosphériques français de 1966 à 1974;
- disposer de données récentes sur au moins une nouvelle île chaque année.

Les sept îles régulières sont les îles hautes de Tahiti et Maupiti situées dans l'archipel de la Société, de Mangareva située dans l'archipel des Gambier, de Tubuai située dans l'archipel des Australes, et de Hiva Oa située dans l'archipel des Marquises, ainsi que les atolls de Rangiroa et Hao situés dans l'archipel des Tuamotu. Les îles supplémentaires retenues en 2023 et 2024 sont les îles de Takapoto (atoll - archipel des Tuamotu) et Bora-Bora (île haute - archipel de la Société). La localisation de ces îles est indiquée sur la carte suivante (Figure 3). Les échantillons biologiques de Tahiti et de Takapoto ont été collectés par le personnel du laboratoire. Pour les autres îles, les collectes et les envois des échantillons ont été pris en charge par six correspondants locaux permanents et un correspondant ponctuel à Bora-Bora.

2.3. TRAITEMENTS DES PRELEVEMENTS

La plupart des prélèvements solides sont préparés de manière à récupérer la partie consommée (chair pour les aliments issus d'animaux, pulpes pour les fruits et légumes...), puis lyophilisés ou séchés à l'étuve et mixés avant d'être analysés.



L'eau de pluie, après regroupement par semestre, est évaporée pour ne conserver qu'environ 500ml pour l'analyse.

Pour l'eau de mer, 170 L sont filtrés à travers une cartouche de ferrocyanure de cuivre qui permet de piéger la radioactivité.

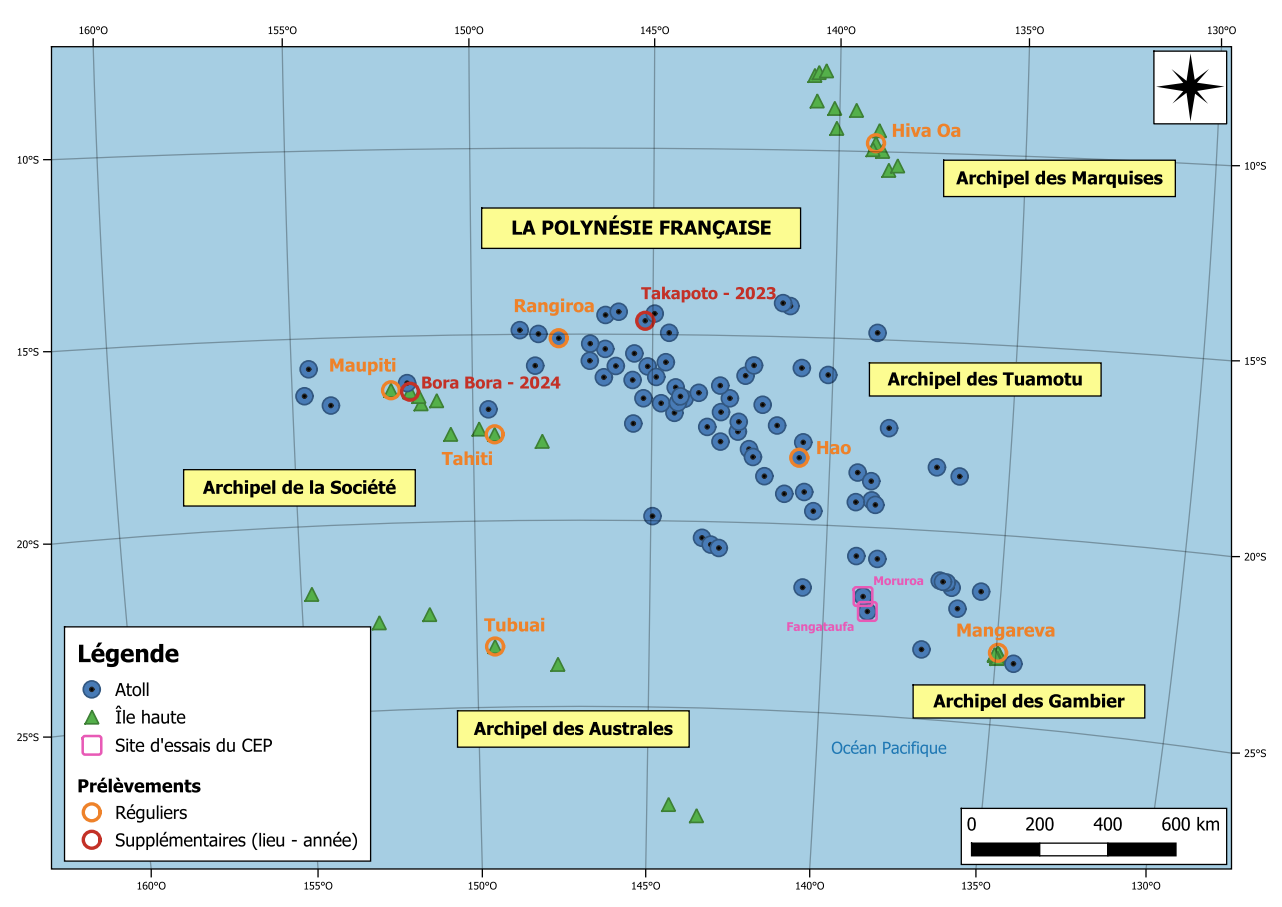


Figure 3 : Localisation des îles de Polynésie française retenues dans le programme de surveillance radiologique 2023-2024.

3. NIVEAUX DE RADIOACTIVITE ET EVOLUTION

En 2023 et 2024, le nombre total de prélèvements est de 332 : 30 dans les milieux et 302 denrées alimentaires (dont 10 produits importés).

Le LESE dispose d'équipements dédiés à la mesure directe non destructive par spectrométrie gamma (*Figure 4*). La spectrométrie gamma est employée pour mesurer simultanément un très grand nombre de radionucléides d'origines artificielle et naturelle. Les protocoles (préparation et mesures) mis en œuvre sont parmi les plus performants pour la recherche de traces de radioactivité artificielle dans l'environnement.

Depuis 2023, les analyses par spectrométrie alpha sont réalisées dans les laboratoires de l'ASNR du Vésinet et d'Orsay en région parisienne.

Pour ce bilan 2023-2024, toutes les mesures de radioactivité ont été réalisées à Tahiti par le LESE à l'exception :

- des analyses gamma des filtres d'aérosols, effectuées par le laboratoire de l'ASNR d'Orsay (91);
- des analyses alpha pour quantifier le plutonium (²³⁸Pu et ²³⁹⁺²⁴⁰Pu) dans des sols de Maupiti et Huahine effectuées par le laboratoire de l'ASNR d'Orsay (91)⁵.

Des chroniques de résultats de mesures permettent de suivre l'évolution dans le temps des concentrations mesurées dans différentes composantes de l'environnement et notamment dans les denrées.



Figure 4 : Laboratoire de métrologie gamma du LESE.

⁵ Les résultats de ces mesures seront présentés dans un rapport dédié à l'issue de l'étude de l'inventaire des sols en Polynésie Française.



3.1. LA RADIOACTIVITE DANS LES ECHANTILLONS DES MILIEUX

Dans l'air

Deux balises de mesure du débit de dose gamma ambiant dans l'air sont installées en Polynésie française depuis plusieurs années, l'une à Papeete et l'autre à Paea (*installée à Vairao depuis mars 2025*). Ces dispositifs font partie du réseau Téléray (https://teleray.asnr.fr) de l'ASNR qui assure une surveillance permanente (24h/24 et 7j/7) de l'état radiologique du territoire. Le seuil de pré-alarme est fixé à 0,04 µSv/h au-dessus de la valeur de bruit de fond, c'est à dire la valeur naturelle en situation normale.

Depuis l'installation des balises, le seuil de pré-alarme n'a jamais été atteint (*Figure 5*). Les différences de débit de dose entre les balises s'expliquent principalement par leur emplacement (au sol, sur un toit terrasse ou sur un mât) et leurs éventuelles expositions à de faibles quantités de radioactivité naturelle présente par exemple dans certains matériaux de construction. Les températures élevées peuvent également provoquer des défaillances momentanées.

En 2024, des mesures ont été réalisées pendant plusieurs semaines lors de l'épreuve de surf des Jeux Olympiques de Paris 2024 (*voir focus*).

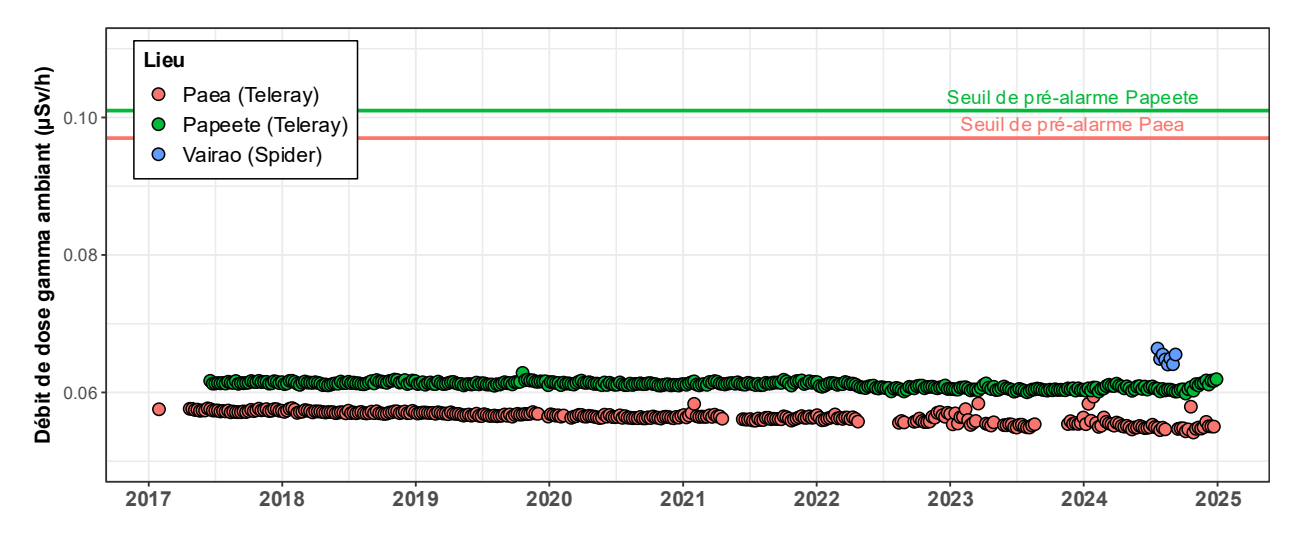


Figure 5 : Débits de dose gamma ambiant mesurés chaque semaine par les balises Téléray de Papeete et Paea entre 2017 et 2024, et à Vairao dans le cadre du déploiement d'une balise Spider lors de l'épreuve de surf des Jeux Olympiques 2024.

Dans les aérosols

Le tableau suivant (*Tableau 1*) présente les concentrations moyennes annuelles de 2022 à 2024 pour les cinq radionucléides mesurés par spectrométrie gamma dans les filtres des aérosols prélevés à Tahiti (*Figure 6*) et à Orsay (la station de référence historique) : cesium-137 (¹³⁷Cs), beryllium-7 (⁷Be), sodium-22 (²²Na), potassium-40 (⁴⁰K) et plomb-210 (²¹⁰Pb). Ces moyennes annuelles sont calculées à partir des concentrations mensuelles mesurées et pondérées des volumes d'air filtrés (tableaux AI-1 à AI-4 du rapport Annexes [2]).



Figure 6 : Station haut débit pour le prélèvement sur filtre des aérosols



Tableau 1 : Comparaison des concentrations moyennes annuelles (µBq/m³) des ¹³⁷Cs, ⁷Be, ²²Na, ⁴⁰K et ²¹⁰Pb dans les aérosols prélevés sur filtres à Tahiti et à Orsay (France) de 2022 à 2024.

Radionucléides		Tahiti (Vairao)			France (Orsay)		
		2022	2023	2024	2022	2023	2024
Artificiel	¹³⁷ Cs	0,07 ± 0,02	0,06 ± 0,01	0,07 ± 0,01	0,09 ± 0,03	0,09 ± 0,02	0,08 ± 0,02
	⁷ Be	2800 ± 360	3037 ± 125	2471 ± 58	3 480 ± 440	2944 ± 147	2362 ± 116
	²² Na	0,19 ± 0,05	0,23 ± 0,02	0,15 ± 0,01	0,36 ± 0,09	0,32 ± 0,04	0,29 ± 0,02
Naturels	⁴⁰ K	8,7 ± 1,4	10,9 ± 0,3	10,4 ± 0,4	6,3 ± 1,2	5,1 ± 0,5	4,2 ± 0,3
	²¹⁰ Pb	54,2 ± 7,0	67,8 ± 3,3	52,1 ± 1,6	365 ± 47	310 ± 29	252 ± 26

Le seul radionucléide artificiel émetteur gamma encore détectable dans les aérosols en Polynésie française est le ¹³⁷Cs. Il témoigne de la faible persistance de la radioactivité introduite dans la haute atmosphère lors d'essais aériens d'armes nucléaires et de la remise en suspension de poussières radioactives déposées au sol. Les résultats mensuels n'excèdent pas 0,12 μBq/m³ (0,00000012 Bq/m³) à Tahiti et les moyennes annuelles en 2023-2024 sont comparables à celles des années précédentes et du même niveau que celles d'Orsay, en métropole. Les évolutions de l'activité volumique du ¹³⁷Cs dans l'air à Tahiti et à Orsay montrent des diminutions similaires, d'environ trois à quatre ordres de grandeur, entre 1971 et 2024 (*Figure 7*) avec une variabilité plus élevée en métropole qu'à Tahiti.

Du fait de la diminution de ces niveaux, les appareils métrologiques ont dû évoluer pour permettre de continuer à quantifier les teneurs de ¹³⁷Cs, laissant apparaitre quelques lacunes les années de remplacement des appareils au LESE.

Les quatre radionucléides d'origine naturelle mesurés par spectrométrie gamma dans l'air sont des radionucléides cosmogéniques (notamment le ⁷Be et le ²²Na, formés dans les hautes couches de l'atmosphère), ainsi que des radionucléides présents dans les sols et mis en suspension dans l'air (⁴⁰K) ou résultant de la désintégration du gaz radon (²¹⁰Pb).

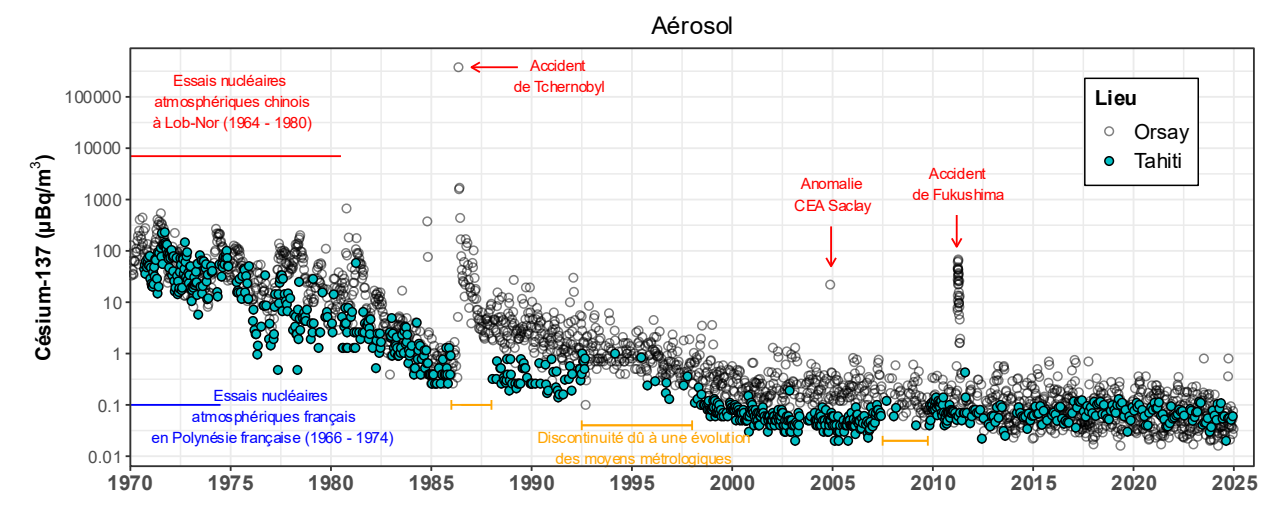


Figure 7 : Concentration du 137Cs en μBq/m³ dans les aérosols prélevés à Orsay et Tahiti de janvier 1971 à décembre 2024.



Dans l'eau de mer

Les prélèvements d'eau de mer ont été effectués dans le lagon de Tahiti, à Vairao en 2023 (comme depuis 2009) et à Teahupoo en 2024 dans le cadre de jeux olympiques (*voir focus*). La concentration moyenne de ¹³⁷Cs est de 0,91 ± 0,01 mBq/L ces deux dernières années (Tableau Al-5 [2]). L'évolution de la concentration du ¹³⁷Cs dans l'eau de mer depuis 1982 est représentée sur la figure suivante (*Figure 8*). Les données ont été obtenues pour des échantillons prélevés :

- de 1982 à 2004 dans l'océan à 1,5 mètre ou 10 mètres de profondeur, au large de Hao, Rangiroa et Tahiti;
- de 2005 à 2024 dans le lagon de Tahiti entre 0,5 et 1,5 mètre de profondeur.

La fréquence des prélèvements initialement programmée annuellement a été accrue (bimestrielle) entre 2011 et 2017 à la suite de l'accident de Fukushima, puis réduite à une fréquence annuelle en 2023.

La diminution de la concentration du ¹³⁷Cs observée jusqu'en 2017, avec une période apparente d'environ 19 ans⁶, correspond essentiellement à la décroissance radioactive (période de 30,1 ans) et à la dispersion de ce radionucléide dans la masse océanique. La stabilisation des teneurs en ¹³⁷Cs autour de 1 mBq/L observée ces dernières années illustre que la concentration est maintenant du même ordre de grandeur que les eaux océaniques globales (https://maris.iaea.org/explore).

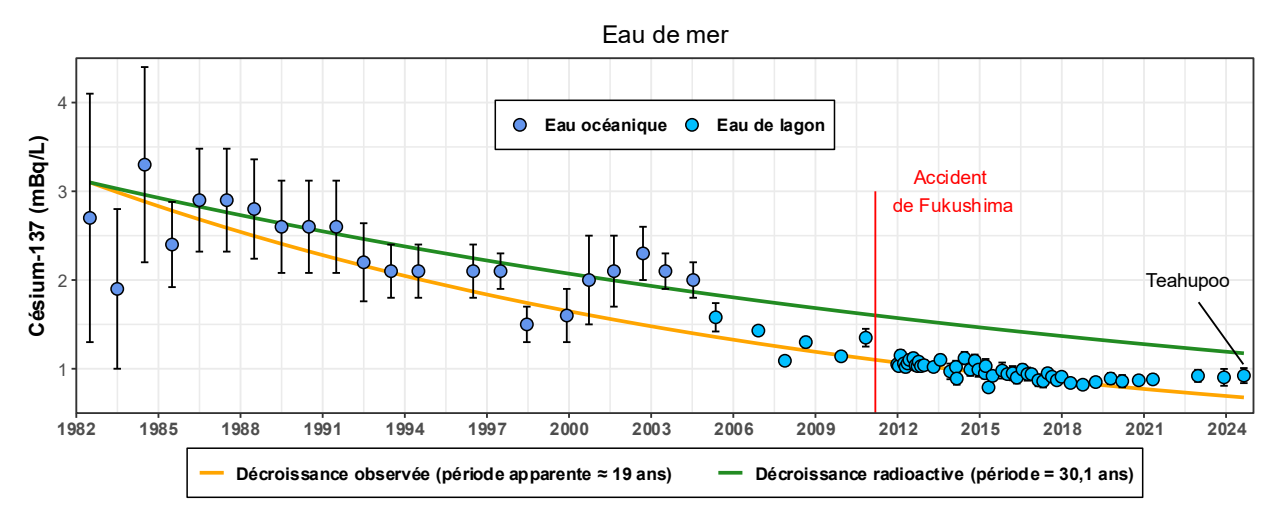


Figure 8 : Concentration du ¹³⁷Cs en mBq/L dans l'eau de mer océanique ou lagonaire de la zone économique exclusive (ZEE) de la Polynésie française de 1982 à 2024.

Dans l'eau de pluie

Comme cela a toujours été le cas depuis 1998, date à laquelle ces types de prélèvements ont commencé à être réalisés, les activités de ¹³⁷Cs dans les échantillons d'eau de pluie prélevés à Vairao en 2023 et 2024 sont trop faibles pour être quantifiées par la mesure (Tableau AI-5 [2]); elles sont inférieures au Seuil de Décision noté SD par la suite⁷.

Dans les sols

Il n'y a pas eu de nouveaux prélèvements de sols en 2023 et 2024. Les résultats présentés dans les bilans radiologiques des années précédentes montrent que les niveaux sont très faibles, avec 1 becquerel de ¹³⁷Cs en moyenne par kilogramme de sol sec. De nouveaux sols ont été prélevés en 2025 sur l'île de Moorea (archipel de la Société) et feront l'objet d'une publication distincte.



⁶ C'est-à-dire que la concentration du césium-137 diminue de moitié tous les 19,2 ans.

⁷ Le seuil de décision (SD) est la valeur minimale que doit avoir le résultat de la mesure d'un échantillon pour décider qu'un radionucléide est présent ou non et que son activité est quantifiable.

SECURISATION DE L'EPREUVE DE SURF DES JEUX OLYMPIQUES DE PARIS 2024

En juillet-août 2024 avait lieu à Teahupoo (Tahiti) l'épreuve de surf des jeux olympiques de Paris 2024. Dans le cadre de la sécurisation de ces jeux, tout comme elle l'a fait en métropole, l'ASNR a mis en place des actions spécifiques sur le territoire polynésien à la demande des pouvoirs publics :

- Mise en place d'une balise de suivi du débit de dose ambiant au poste de commandement des forces de sécurité (*Figure 5* et *Figure 9*);
- Mesure de la radioactivité dans l'eau de mer à proximité du site de l'épreuve de surf (Figure 9 et Figure 8).

Dans les deux cas, les résultats n'ont pas révélé d'anomalie de radioactivité.





Figure 9 : Actions de sécurisation de l'épreuve des Jeux Olympiques de Paris 2024 mises en place par l'ASNR à Tahiti



3.2. LA RADIOACTIVITE DANS LES DENREES ALIMENTAIRES



Figure 10 : Préparation par lyophilisation des denrées alimentaires.

Trente-quatre types de denrées alimentaires issues des milieux marin et terrestre ont été échantillonnés dans 9 îles de Polynésie française en 2023 et 2024 (les 7 îles depuis 1998 et les deux supplémentaires).

Au total, 302 prélèvements dont 10 de produits importés ont été effectués ces deux années (Figure 11). Les analyses radiologiques réalisées portent sur la partie communément comestible des produits (pulpe pour les fruits et les légumes, chairs pour les viandes, les poissons et les bénitiers). Tous les échantillons ont été mesurés par spectrométrie gamma. Les résultats présentés dans les parties suivantes incluent les échantillons des 9 îles qui sont regroupés par archipel pour faciliter la lecture. Dans l'ensemble, les mesures réalisées sur les échantillons prélevées dans les deux îles supplémentaires de la période 2023 et 2024 montrent que les niveaux sont similaires avec les autres îles du suivi (Tableaux AII-1 à AII-10 [2]). Le lecteur peut se référer au tableau taxonomique en fin de document pour la traduction en écriture scientifique et en tahitien du nom des différentes espèces.

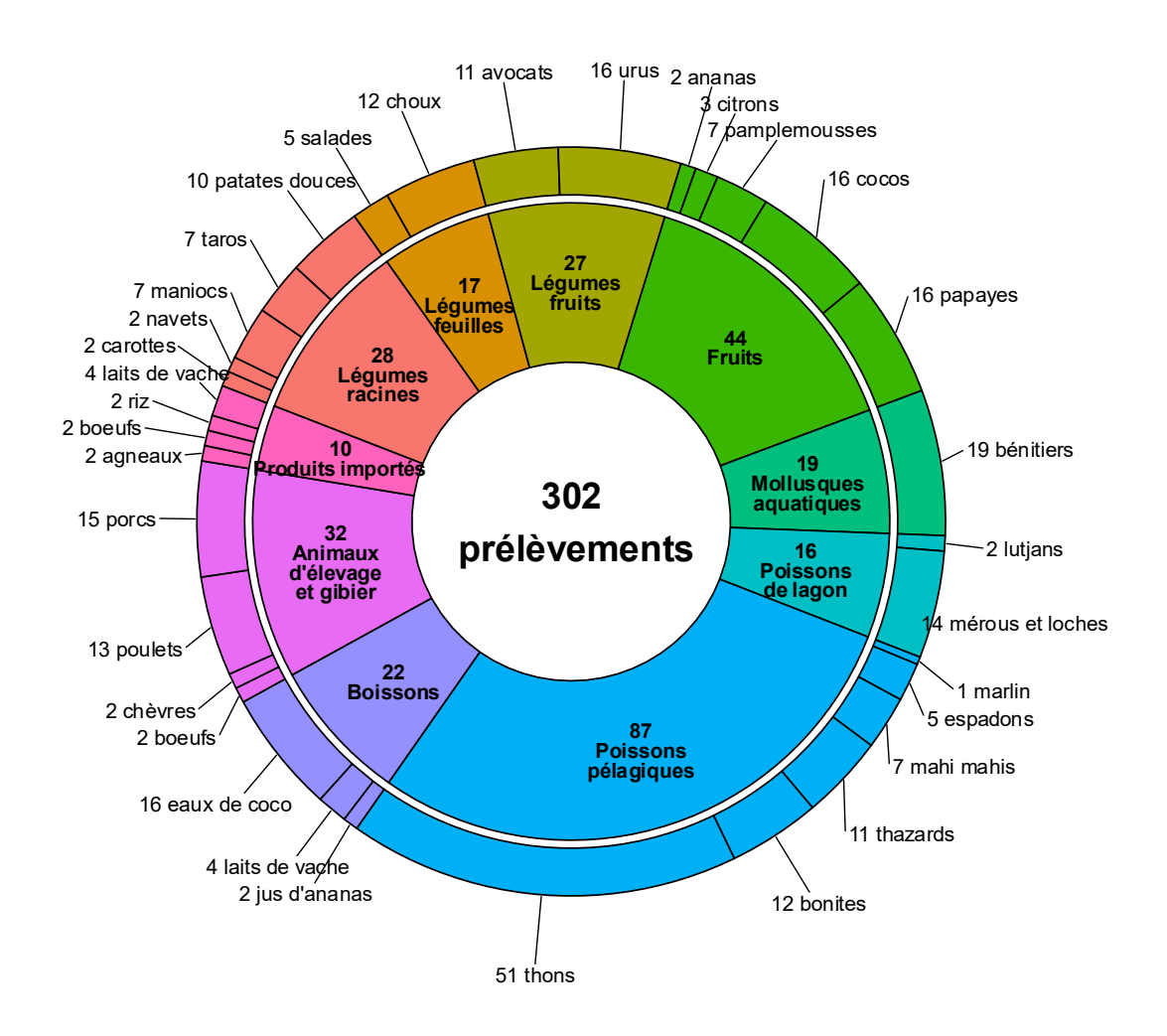


Figure 11 : Répartition des prélèvements des denrées alimentaires en 2023-2024.



Dans le milieu marin

Poissons pélagiques

Quatre-vingt-sept prélèvements de poissons pélagiques de huit espèces différentes ont été effectués au voisinage des cinq archipels (*Figure 12*). Les concentrations du ¹³⁷Cs mesurées dans les échantillons

frais (Tableaux AII-1 à AII-9 [2]) sont dans la continuité des résultats obtenus les années précédentes (*Figure 13*) et restent assez homogènes, entre 0,09 et 0,30 Bq par kilogramme de matière fraiche (noté Bq/kg frais par la suite) avec une valeur moyenne de 0,13 ± 0,04 Bq/kg frais, le maximum étant mesuré dans un thazard provenant de Hao (Tuamotu). La diminution observée depuis 1998 semble être attribuable principalement à la période radioactive du ¹³⁷Cs (*Figure 13*).

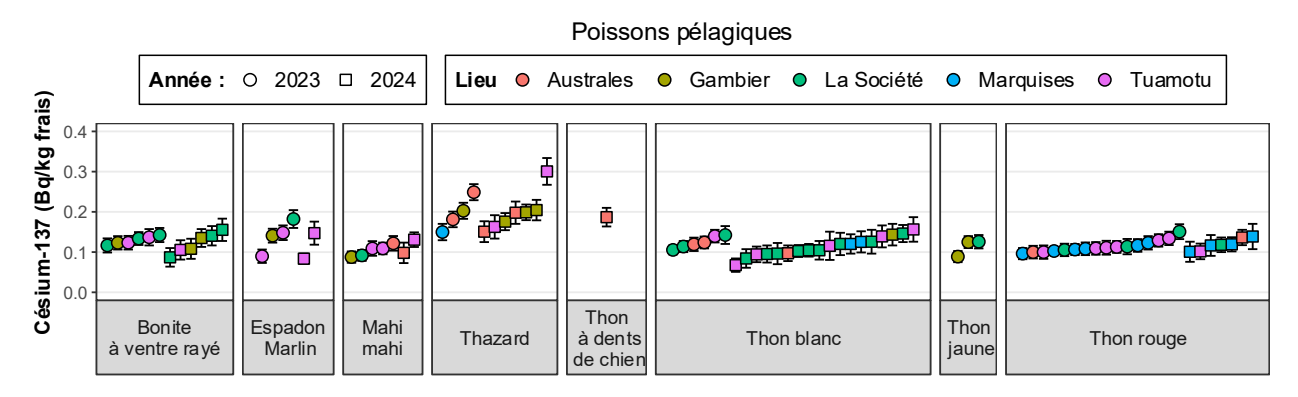


Figure 12 : Concentration du ¹³⁷Cs en Bq/kg frais dans les échantillons de poissons pélagiques prélevés au voisinage des îles des cinq archipels de Polynésie française en 2023-2024.

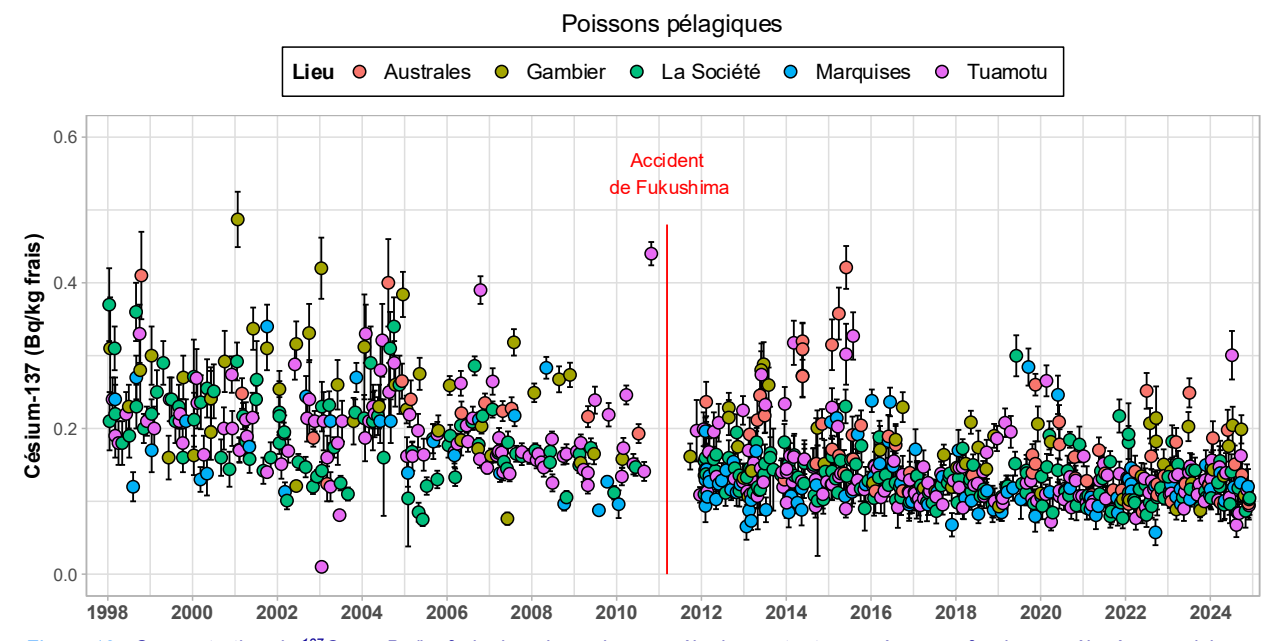


Figure 13 : Concentration du ¹³⁷Cs en Bq/kg frais dans les poissons pélagiques, toutes espèces confondues, prélevés au voisinage des côtes polynésiennes entre janvier 1998 et décembre 2024.



Poissons de lagon

Consommée en grande quantité, la chair des poissons de lagon (appelés aussi poissons de récifs aux Marquises) a été mesurée régulièrement entre 1973 et 2024 (*Figure 14*). Les concentrations du ¹³⁷Cs mesurées ont rarement excédé 1 Bq/kg frais depuis 1973 et elles sont actuellement de l'ordre de 0,1 Bq/kg frais pour l'ensemble des îles échantillonnées (*Figure 15*).

Pour les 16 échantillons prélevés en 2023 et 2024, les concentrations du ¹³⁷Cs sont similaires à celles observées les années précédentes, quelle que soit la provenance (Tableaux AII-1 à AII-9 [2]). La concentration moyenne en 2023-2024 est de 0,09 ± 0,04 Bq/kg frais avec un maximum de 0,24 Bq/kg dans des mérous célestes péchés aux îles Gambier.

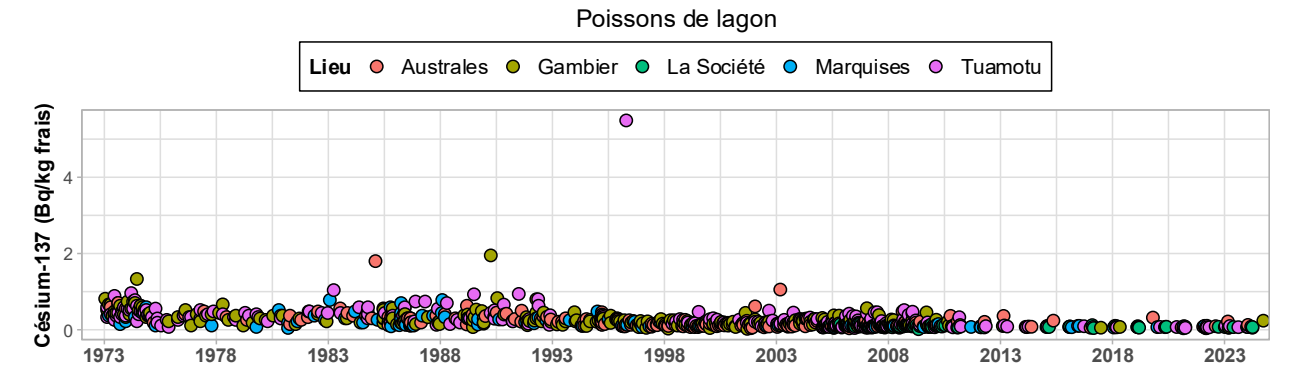


Figure 14: Concentration du 137Cs en Bq/kg frais dans les poissons de lagon, toutes espèces confondues, prélevés dans les lagons des îles des cinq archipels de Polynésie française entre janvier 1998 et décembre 2024. Les résultats non significatifs (inférieurs au seuil de décision) ne sont pas indiqués.

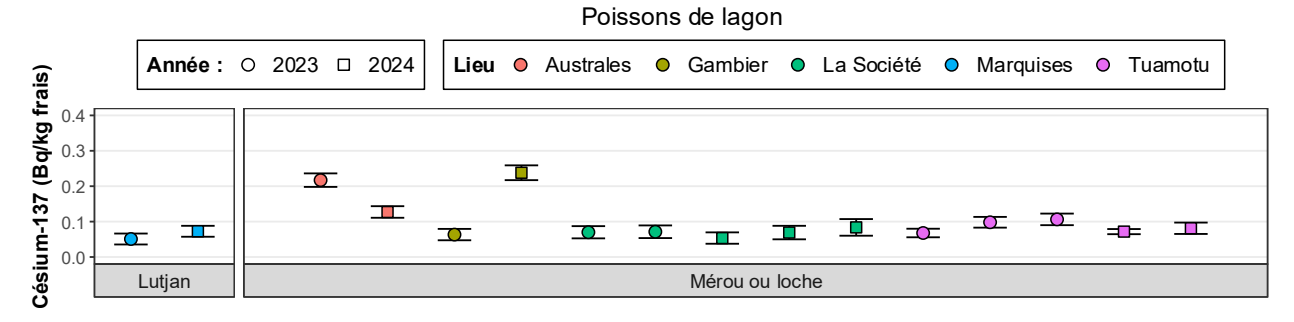


Figure 15 : Concentration du ¹³⁷Cs en Bq/kg frais dans les échantillons de poissons de lagon (ou poissons de récifs), prélevés dans les lagons polynésiens des îles des cinq archipels de Polynésie française en 2023-2024.

Bénitiers

Les bénitiers sont également une source d'alimentation issue des lagons (à l'exception des îles Marquises) et consommés en particulier dans les atolls. Le ¹³⁷Cs est rarement observé dans la chair de ce mollusque, des traces n'ont ainsi été observées que dans 3 des 20

échantillons prélevés entre 2023 et 2024 (*Figure 16*). Depuis 1998, le ¹³⁷Cs n'est observé que dans environ un quart des échantillons, avec des valeurs similaires entre les archipels. Les concentrations maximales observées ces dernières années sont plus faibles que dans les années 2000 et n'excèdent pas 0,03 Bq/kg frais.

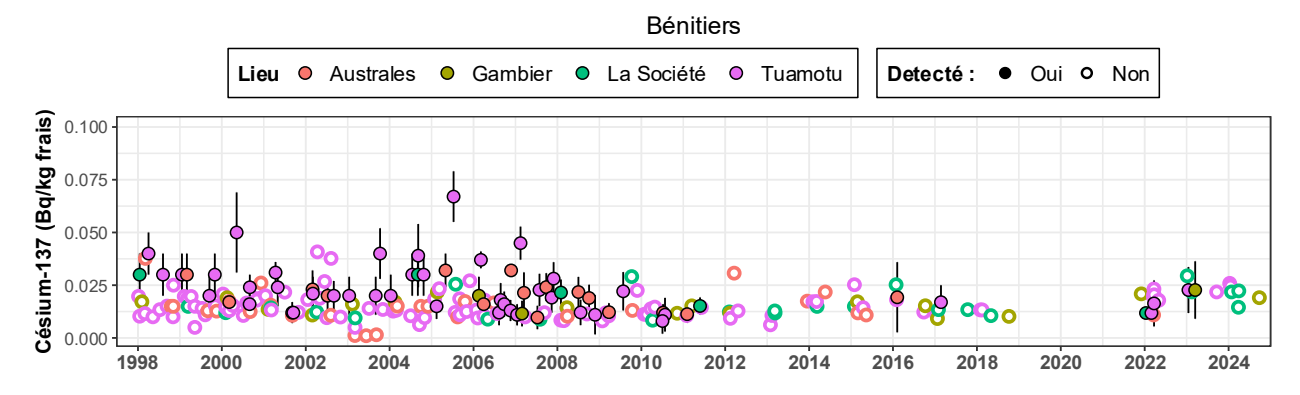


Figure 16 : Concentration du ¹³⁷Cs en Bq/kg frais dans la chair des bénitiers prélevés dans les lagons des îles de quatre archipels de Polynésie française entre janvier 1998 et décembre 2024. Les cercles vides indiquent les valeurs inférieures aux seuils de décisions.



Dans le milieu terrestre

Lait de vache

Le lait de vache a été mesuré par spectrométrie gamma avec des fréquences variables depuis 1966. Les prélèvements proviennent tous de Tahiti et ont été collectés systématiquement depuis 1994 à la ferme située sur le plateau de Taravao (Tahiti). Depuis 2012, deux échantillonnages de lait frais entier sont réalisés chaque année afin de poursuivre la chronique de la teneur en ¹³⁷Cs (*Figure 17*).

Les teneurs en 137 Cs mesurées dans le lait prélevé à Tahiti en 2023-2024 ont une teneur moyenne de 0,08 ± 0,03 Bq/L frais (Tableau AlI-7 [2]) ; elles sont légèrement supérieures à celles des laits demi-écrémés importés de métropole et de Nouvelle-Zélande qui sont au maximum de 0,04 ± 0,01 Bq/L frais (Tableau AlI-10 [2]). La diminution observée au fil des années est plus rapide que celle qui serait uniquement due à la décroissance

radioactive du ¹³⁷Cs (30,1 ans). La période apparente ainsi calculée est de l'ordre de 8 ans et peut être expliquée par plusieurs phénomènes :

- Décroissance radioactive du ¹³⁷Cs contenu dans les sols et réduction progressive des retombées de particules radioactives à la suite de la diminution des essais atmosphériques à l'échelle mondiale;
- Lessivage vers la profondeur d'une fraction du ¹³⁷Cs présent dans les sols par les pluies souvent très abondantes;
- Variations de teneurs en ¹³⁷Cs dans l'alimentation du bétail :
 - variations dans le temps de la nature des graminées (setaria, paspalum, Kikuyu et autres espèces indéterminées),
 - usage de compléments alimentaires de natures diverses (maïs cultivé, tourteau de coprah, drêche fraiche...),
 - ▶ abreuvage provenant de différentes sources dont les teneurs en ¹³⁷Cs peuvent aussi être variables.

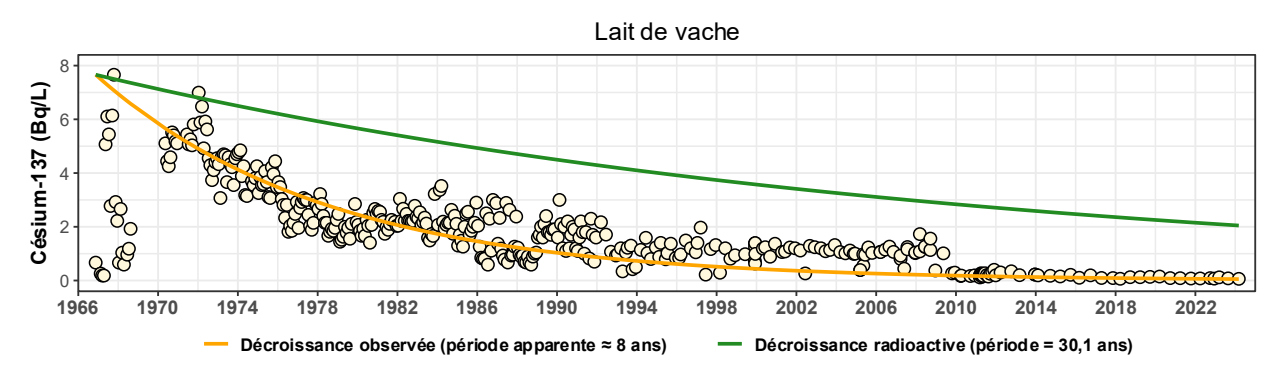


Figure 17: Concentration du ¹³⁷Cs en Bq/L frais dans le lait de vache produit à Tahiti entre 1966 et 2024.

Viandes issues d'animaux d'élevage

Sur la période 2023-2024, les concentrations de ¹³⁷Cs les plus élevées parmi l'ensemble des denrées sont observées dans la viande (Tableaux All-1 à All-10 [2]), en particulier celle de bœuf du plateau de Taravao (Tahiti) avec un maximum de 7,09 Bq/kg frais en 2023

(*Figure 18*). Comme le lait, ces concentrations varient d'une année sur l'autre selon l'alimentation des animaux, comme on peut l'observer avec des concentrations dans la viande de bœuf du plateau de Taravao qui ont varié de 0,04 Bq/kg frais à 18,77 Bq/kg frais entre 1998 et 2024 (*Figure 19*).

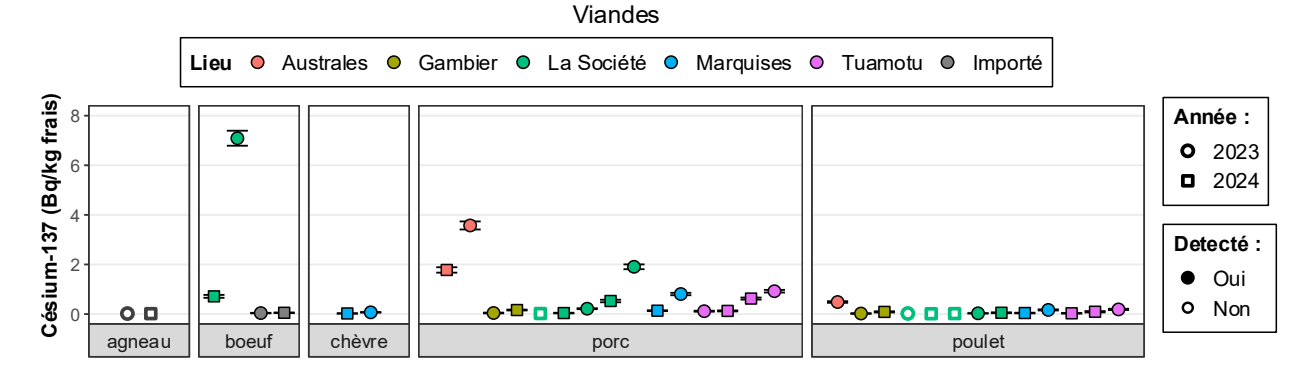


Figure 18 : Concentration du ¹³⁷Cs en Bq/kg frais dans la chair des animaux d'élevage des îles des cinq archipels de Polynésie française et importées de Nouvelle-Zélande en 2023-2024.



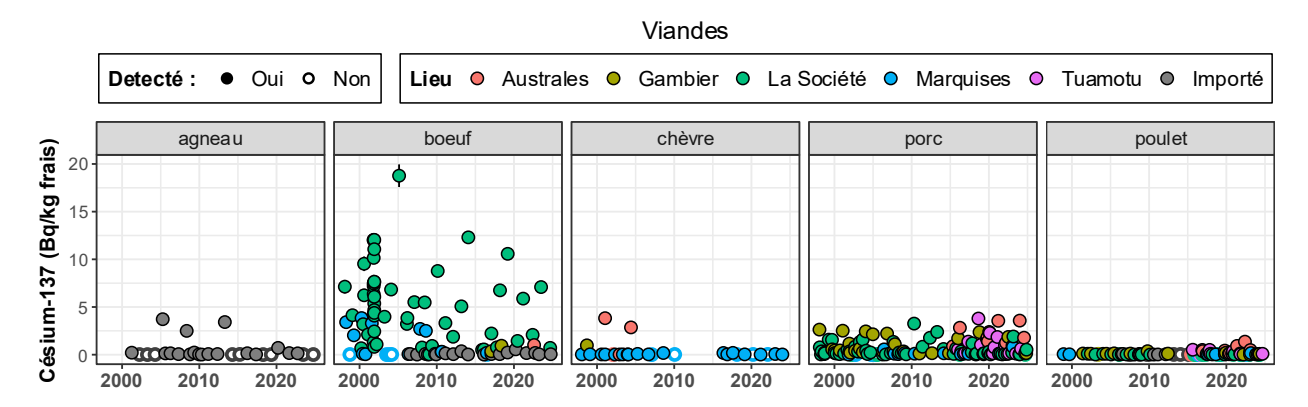


Figure 19 : Concentration du ¹³⁷Cs en Bq/kg frais dans la chair des animaux d'élevage des îles des cinq archipels de Polynésie française et importée (principalement de Nouvelle-Zélande) entre janvier 1998 et décembre 2024.

Fruits et légumes

En 2023 et 2024, le ¹³⁷Cs n'a été détecté que dans la moitié des échantillons de fruits, légumes et céréales prélevés (Tableaux AlI-1 à AlI-10 [2]). Lorsqu'il est détecté, ses concentrations restent inférieures à 1 Bq/kg de pulpe fraiche (*Figure 20* et *Figure 21*) sauf dans les cas d'un choux (Tubuai), d'une salade (Hiva Oa) et de deux cocos (Rangiroa). Ces concentrations sont similaires à celles observées ces dernières années (*Figure 22*). Les tendances observées en 2023-2024

pour la chair de coco se retrouvent également dans l'eau de coco (*Figure 21*), avec des valeurs plus élevées dans les Australes (Tubuai) et les Tuamotu (Rangiroa). La chronique de concentration dans la chair et l'eau de coco de 1973 à 2024 montre que les concentrations sont depuis plusieurs années plus faibles que celles qui étaient observées jusqu'au début des années 1990 (*Figure 23*). Pour le jus d'ananas (fait à partir des ananas cultivés à Moorea), les concentrations en ¹³⁷Cs sont très faibles (*Figure 24*).

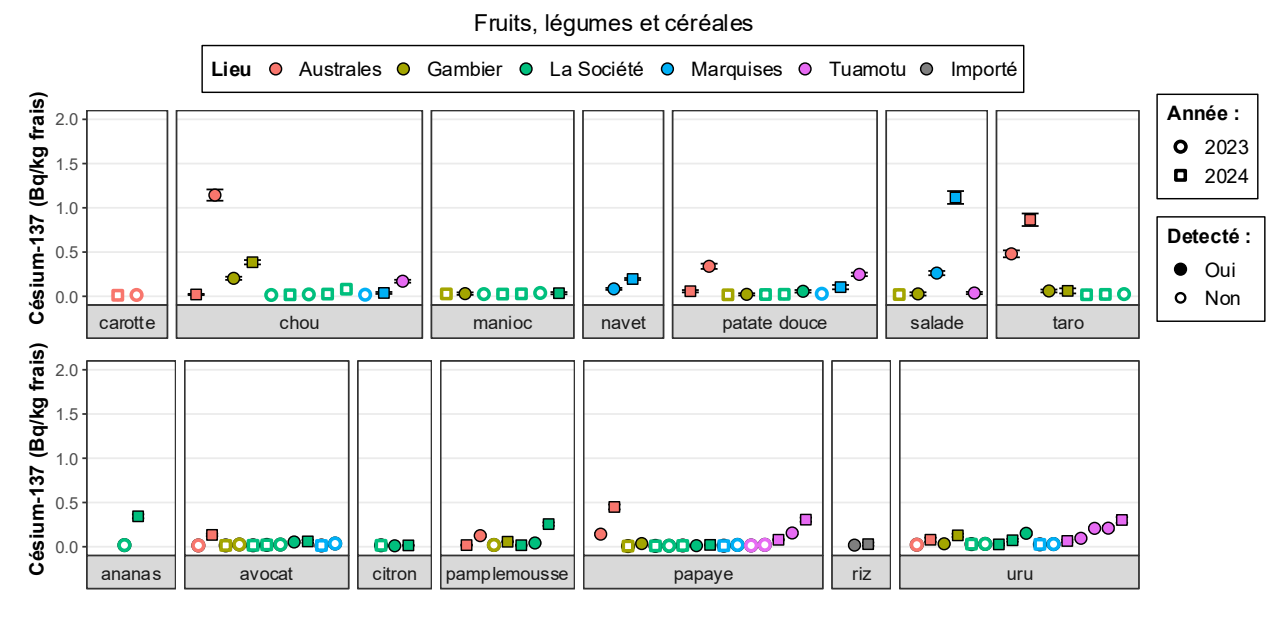


Figure 20 : Concentration du ¹³⁷Cs en Bq/kg frais dans les fruits et légumes des îles des cinq archipels de Polynésie française et dans le riz importé de Thaïlande en 2023-2024. La concentration du riz est en Bq/kg sec.



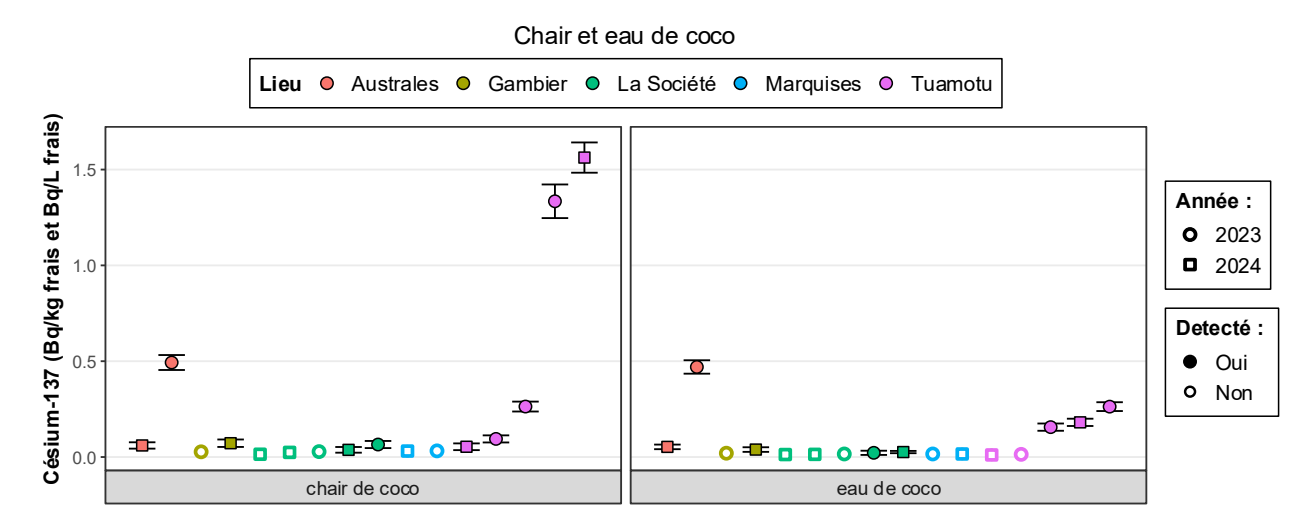


Figure 21 : Concentration du ¹³⁷Cs en Bq/kg frais dans la chair de coco et Bq/L frais dans l'eau de coco des îles des cinq archipels de Polynésie française en 2023 et 2024.

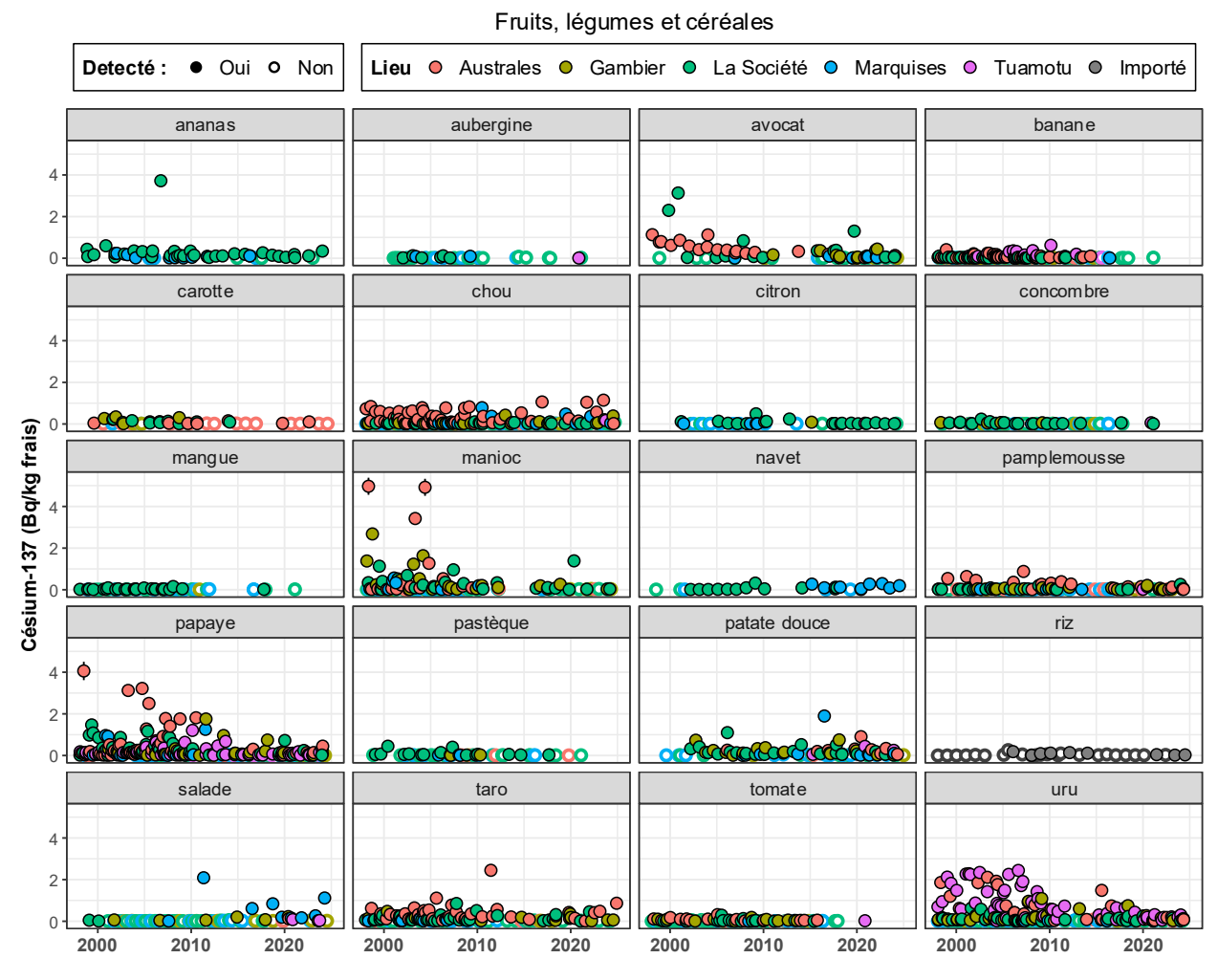


Figure 22 : Concentration du ¹³⁷Cs en Bq/kg frais dans les fruits et légumes des îles des cinq archipels de Polynésie française et dans le riz importé (principalement de Thaïlande et d'Australie) entre 1998 et 2024. La concentration du riz est en Bq/kg sec.



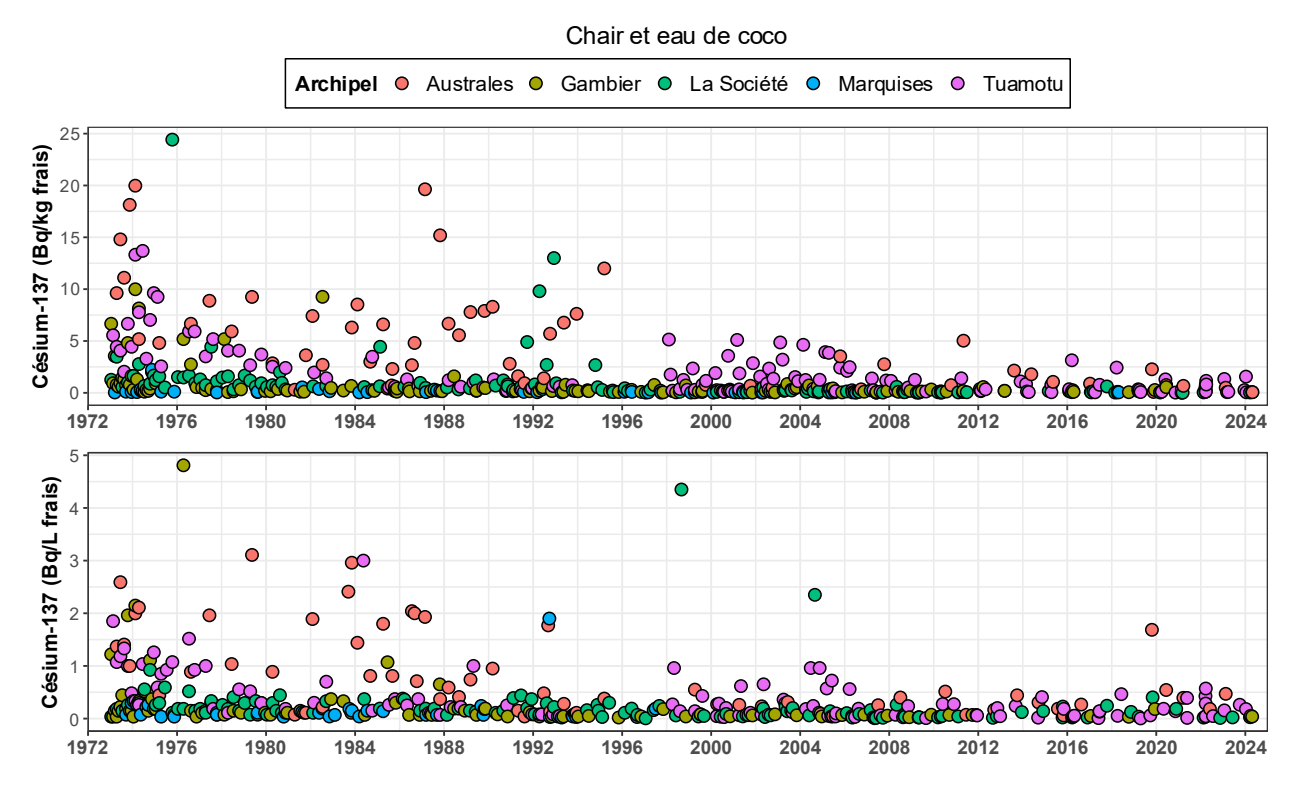


Figure 23 : Concentration du ¹³⁷Cs en Bq/kg frais dans la chair de coco et Bq/L frais dans l'eau de coco des cinq archipels de Polynésie française entre 1973 et 2024.

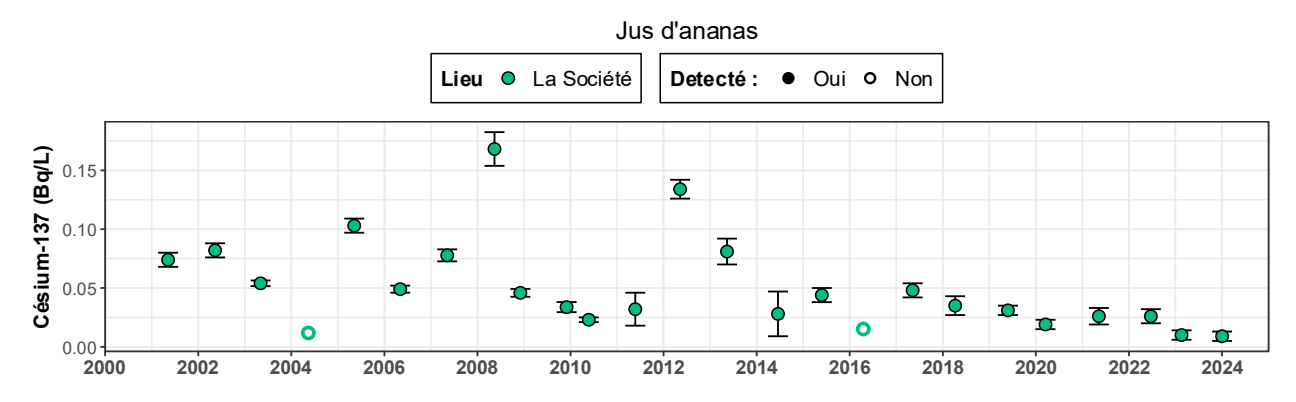


Figure 24 : Concentration du ¹³⁷Cs en Bq/L frais dans le jus d'ananas (fait à partir des ananas cultivés à Moorea) mesurée entre 2001 et 2024.



FOCUS MESURE DU CESIUM-137 DANS L'HUÎLE DE TAMANU

En 2024, nous avons eu l'opportunité de mesurer le ¹³⁷Cs dans un échantillon d'huile de Tamanu provenant de l'atoll de Rangiroa.

L'huile de Tamanu est un produit cosmétique emblématique aux vertus médicinales qui est extrait par pression à froid des fruits de l'arbre Calophyllum inophyllum (*Figure 25*).

La mesure ainsi réalisée a confirmé que le ¹³⁷Cs y est en concentration trop faible pour être mesuré (inférieure au SD).





Figure 25 : Fruits utilisés pour la fabrication de l'huile de Tamanu et Calophyllum inophyllum sur Moorea.



4. EXPOSITION DE LA POPULATION AUX RAYONNEMENTS IONISANTS EN POLYNÉSIE FRANÇAISE

L'estimation de la dose efficace permet de quantifier et de comparer les différentes expositions à la radioactivité auxquelles peut être soumise une personne.

La dose efficace s'exprime en sieverts (Sv). On utilise en pratique ses sous-multiples : le millisievert (1 mSv = 0,001 Sv) ou le microsievert (1 μ Sv = 0,000001 Sv). La *Figure* 26 présente quelques exemples de doses efficaces reçues.

Une personne peut être exposée de plusieurs manières à la radioactivité présente dans l'environnement. L'exposition externe résulte des rayonnements émis par des sources présentes à l'extérieur du corps humain (par exemple, le rayonnement cosmique, les rayonnements des radionucléides présents dans l'air ou dans les sols).

La dose reçue dépend de la durée d'exposition, du niveau d'activité environnementale et de la distance à la source. L'exposition interne résulte de l'incorporation d'un radionucléide, notamment par ingestion d'aliments ou par inhalation des radionucléides présents dans l'air. La dose résultant de l'exposition interne est reçue depuis l'incorporation jusqu'à l'épuration totale du radionucléide du corps humain ; la radioactivité corporelle décroît alors en fonction de la période radioactive et de la vitesse d'élimination biologique du radionucléide incorporé. Les coefficients de dose sont spécifiques à chaque radionucléides [4].

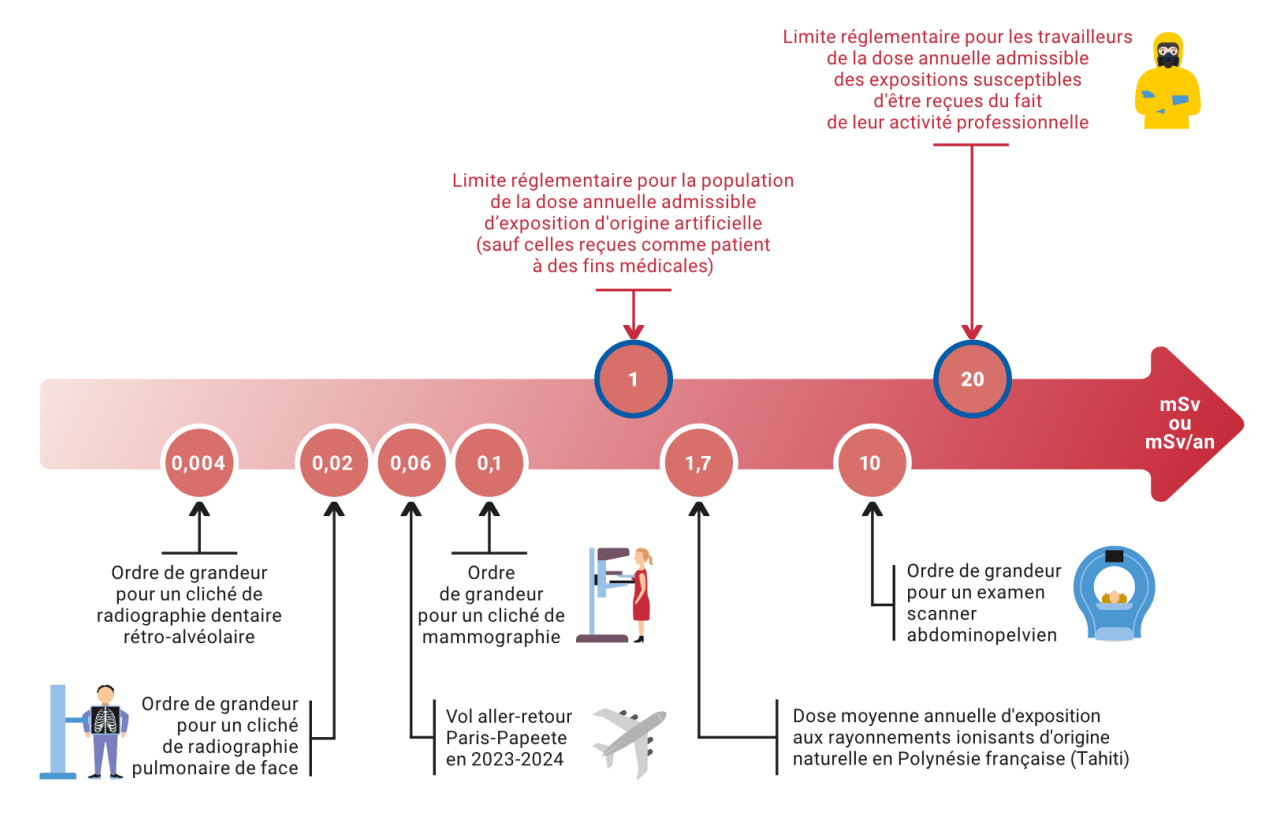


Figure 26 : Exemples de doses efficaces reçues et limites réglementaires d'exposition



4.1. SOURCES D'EXPOSITION

On distingue les expositions aux sources de rayonnement d'origine naturelle de celles d'origine artificielle.

L'exposition de la population à la **radioactivité naturelle** [5] est essentiellement liée :

- au rayonnement cosmique, qui contribue de façon conséquente à l'exposition externe, qui augmente avec l'altitude et qui est ainsi plus important en avion;
- à la présence de radionucléides naturels présents dans les sols; le rayonnement, dit tellurique, qu'ils émettent est très variable en fonction de la nature des sols;
- à l'ingestion de radionucléides naturels présents dans les aliments et dans l'eau, en particulier dans les produits de la mer;
- à l'inhalation de radon, gaz rare radioactif naturel qui provient de la désintégration de l'uranium présent dans l'écorce terrestre et dans les matériaux de construction;
- à l'inhalation de radionucléides naturels, notamment de polonium (²¹⁰Po) descendant de l'uranium, lors de la consommation de tabac.

À cette exposition résultant de la radioactivité naturelle, il convient d'ajouter l'exposition liée à la radioactivité

d'origine artificielle. Compte tenu de l'absence d'installation nucléaire industrielle en Polynésie française, la radioactivité d'origine artificielle est principalement due :

- à la rémanence des retombées atmosphériques des essais d'armes nucléaires réalisés en Polynésie françaises (retombées locales/régionales) et dans le reste du monde (retombées mondiales);
- aux actes d'imagerie médicale diagnostique qui conduisent à une dose efficace moyenne par habitant de l'ordre de 1,6 millisievert par an (mSv/an) dans l'hexagone, la moyenne mondiale s'établissant aux alentours de 0,6 mSv/an.

Ces sources d'exposition d'origine naturelle et artificielle sont ensuite déclinées en voies d'exposition externe et interne pour calculer l'exposition annuelle à laquelle peut être soumis un individu. L'objectif du chapitre suivant est de fournir une estimation des doses efficaces annuelles reçues par les populations sur la base des résultats de mesures effectuées sur les denrées incluant les boissons et sur les filtres d'aérosols, ainsi que sur les sols pour ce qui concerne la contribution du ¹³⁷Cs à l'exposition externe. La contribution des rayonnements tellurique et cosmique est également prise en compte. L'exposition médicale n'est pas prise en compte.



4.2. EVALUATION DES DOSES EFFICACES ANNUELLES EN POLYNESIE FRANCAISE

Dose efficace annuelle liée à l'exposition externe

L'exposition externe ambiante en Polynésie française est essentiellement d'origine naturelle (rayonnements cosmiques et telluriques). Pour Tahiti, la dose externe moyenne est estimée à 0,7 mSv/an (700 µSv/an) à partir de 121 mesures réalisées entre 2010 et 2024 (Figure 27).

La contribution d'origine artificielle est très faible, provenant quasi exclusivement du ¹³⁷Cs issu des retombées des essais d'armes nucléaires atmosphériques ; cette contribution est estimée inférieure à 0,001 mSv/an pour l'île de Tahiti sur la base des concentrations de ce radionucléide mesurées dans les sols. La présence de plutonium, d'américum-241 (²⁴¹Am) et de strontium-90 (⁹⁰Sr) dans les sols ne contribue pas à l'exposition externe car ce sont des émetteurs alpha, beta et gamma de faible énergie (60 keV) dans le cas du ²⁴¹Am.

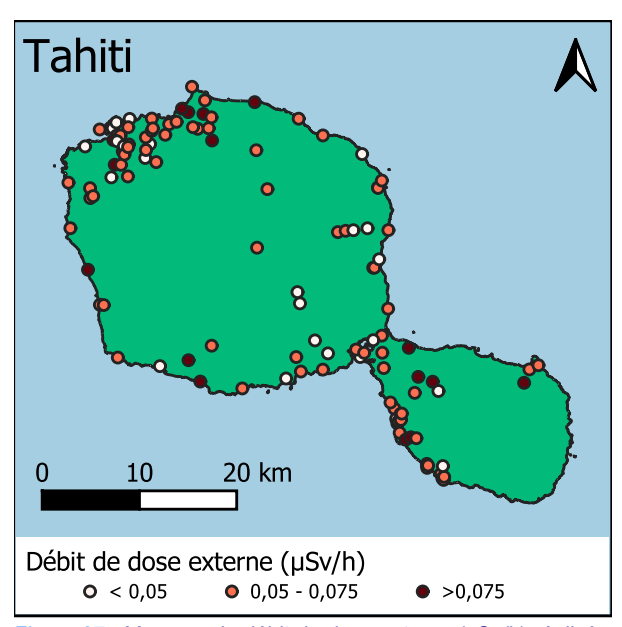


Figure 27 : Mesures de débit de dose externe (μSv/h) réalisées à Tahiti entre 2010 et 2024.

Dose efficace annuelle liée à l'inhalation

La dose efficace annuelle engagée par inhalation des radionucléides mesurés par spectrométrie gamma sur les filtres d'aérosols a été évaluée à partir de leurs concentrations moyennes annuelles (*Tableau 2*). Ces évaluations ont été faites pour des adultes respirant 22

 m^3 d'air par jour. La dose efficace engagée par inhalation des radionucléides artificiels est négligeable (<0,00001 μSv/an) tout comme pour les radionucléides naturels (<1 μSv/an, principalement le 210 Pb). Il est important de noter que plusieurs autres radionucléides présents dans l'air en Polynésie ne sont pas mesurables par spectrométrie gamma ; les doses liées à leur inhalation n'ont donc pas pu être estimées. Il s'agit notamment, pour les radionucléides artificiels, des isotopes du plutonium, de 241 Am et de 90 Sr.

Tableau 2 : Dose efficace engagée en 2023 et 2024 par l'inhalation des radionucléides mesurées par spectrométrie gamme dans les aérosols de Vairao (Tahiti).

	Artificiel	Naturels		
Année	¹³⁷ Cs (µSv/an)	⁷ Be (μSv/an)	²² Na (μSv/an)	²¹⁰ Pb (μSv/an)
2023	2,1 * 10-6	0,0012	2,4 * 10-6	0,60
2024	2,5 * 10-6	0,0010	1,9 * 10-6	0,46

Exposition liée au radon

Dans le cas du radon (gaz radioactif d'origine naturelle), une campagne de mesure effectuée en 2020 dans les habitations de Tahiti indiquent que sa teneur dans l'air est inférieure à 10 Bq/m³, plus faible que celle mesurée en métropole (60 Bq/m³ en moyenne). L'exposition naturelle moyenne au radon à Tahiti est estimée à 0,46 mSv/an (460 μ Sv/an) après utilisation du nouveau coefficient de dose pour le radon introduit dans la législation en 2023 8 .

Cette évolution est liée à l'amélioration récentes des connaissances et des modélisations sur le lien entre exposition et impact dosimétrique du radon [6], ce qui a conduit la règlementation française à introduire un nouveau coefficient de dose pour le radon. Ce nouveau coefficient a une valeur qui est plus du double de celle qui figurait dans la réglementation antérieure. Il en résulte une augmentation proportionnelle des doses estimées dans le présent bilan pour l'exposition naturelle moyenne au radon à Tahiti par rapport à celles qui étaient estimées avec l'ancienne valeur réglementaire (elle était de 0,17 mSv avec l'ancien coefficient).

Dose efficace annuelle liée à l'ingestion

La dose efficace annuelle liée à l'ingestion avait été estimée en 2019 et 2020 [7], à partir des résultats d'analyses d'une série de plateaux-repas, d'eaux et d'autres boissons (lait, eau de coco, jus d'ananas)

⁸ Arrêté du 16 novembre 2023 définissant les modalités de calcul des doses efficaces et des doses équivalentes résultant de l'exposition des personnes aux rayonnements ionisants. JORF du 25 novembre 2023.



prélevés à Tahiti. L'eau étant un produit ingéré en grande quantité, six prélèvements (quatre eaux commerciales et deux eaux distribuées par les communes) avaient été effectués. Sur la base des quantités échantillonnées, les denrées solides ingérées annuellement par un individu adulte en 2019 et en 2020 représentaient respectivement 469 et 482 kg. Une quantité annuelle de 730 L avait été retenue pour l'eau de boisson à laquelle s'ajoutaient 142 L d'eau contenue dans la bière et les sodas locaux, 19 L de lait (14,6 L locaux et 4,4 L importés), 6,2 L de jus d'ananas et 0,8 L d'eau de coco.

L'évaluation de la dose efficace annuelle avait été effectuée à partir des concentrations mesurées des différents radionucléides, exprimées en Bq/L pour les liquides et Bq/kg frais pour les solides, multipliées par les quantités annuelles ingérées, en L par an ou en kg par an, et par les coefficients de doses efficaces engagées par unité d'incorporation par ingestion exprimés en Sv/Bq [4] pour les adultes.

Les doses annuelles liées à l'ingestion de radionucléides artificiels à Tahiti ont été estimées inférieures à 1,2 μ Sv en 2019 et inférieures à 1,4 μ Sv en 2020 ; elles sont dues principalement au 90 Sr (80-90%) dont le calcul de dose avait été effectué avec une valeur de concentration majorante correspondant à la limite de détection, soit deux fois la valeur du SD (seuil de décision), et au 137 Cs (10-20%) dont la concentration est mesurée bien au-delà du SD dans les denrées solides à l'origine de la quasi-totalité de son ingestion annuelle. La contribution à la dose du plutonium est très faible (\leq 1%). Parmi les principaux contributeurs à la dose par ingestion de radionucléides naturels (210 Po, 210 Pb, 226 Ra, 228 Ra, et 14 C), le calcul pour l'un d'entre eux (210 Pb) avait été effectué en prenant une valeur majorante égale à la limite

de détection, soit deux fois la valeur du SD, car les mesures n'étaient pas significatives. Enfin, les doses dues au ^{40}K ne dépendent pas des teneurs mesurées dans les denrées. En effet, le potassium est régulé par l'organisme (kaliémie) entraînant une teneur constante en ^{40}K de l'organisme humain ; cette teneur délivre une dose moyenne de 170 µSv/an. La dose efficace engagée par ingestion de radionucléides naturels à Tahiti avait ainsi été estimée en 2019 à 0,566 mSv (566 µSv) et en 2020 à 0,535 mSv (535 µSv). Les résultats des mesures de radioactivité étant similaires en 2023 et 2024 à celles des années précédentes, la moyenne de ces deux valeurs (0,55 mSv) est retenue pour ce rapport comme représentative du début des années 2020.

Dose efficace annuelle totale

Hors expositions médicales, la dose efficace totale, somme des trois composantes, irradiation externe, inhalation et ingestion, est estimée à 1,7 mSv par an⁹ pour la population adulte vivant sur Tahiti (*Figure 28*). Cette exposition est quasi-totalement (99,9%) attribuable à la radioactivité naturelle. Elle provient principalement de l'exposition aux rayonnements naturels tellurique et cosmique, de l'ingestion des radionucléides naturels présents dans les denrées et les boissons (notamment le ⁴⁰K, le ²¹⁰Po et le ¹⁴C), et de l'inhalation du radon (uniquement pour les îles hautes). L'exposition liée à la radioactivité artificielle est estimée inférieure à 0,003 mSv/an.

L'exposition moyenne d'un adulte polynésien à la radioactivité environnementale est ainsi plus faible que la moyenne mondiale qui est estimée à 3 mSv hors exposition médicale [1].

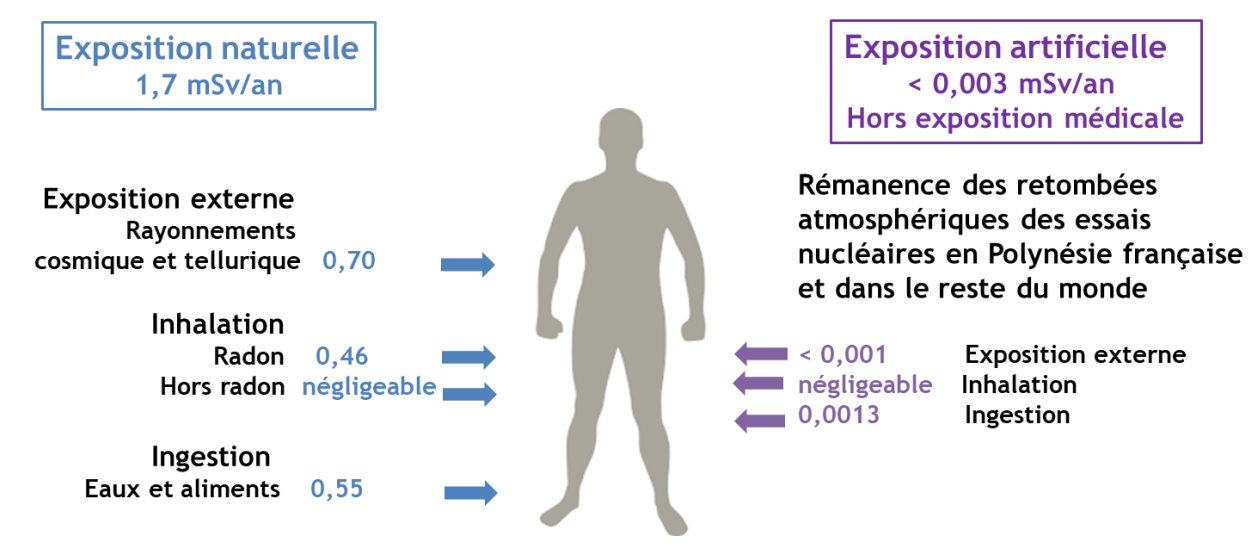


Figure 28: Exposition aux rayonnements ionisants à Tahiti (en mSv/an), hors exposition médicale.

une dose due à l'exposition au radon de 0,46 mSv/an au lieu de 0,17 mSv/an.



⁹ Cette valeur est plus élevée que celle des bilans radiologiques précédents car elle prend en compte le nouveau coefficient de dose pour le radon introduit en 2023 dans la réglementation française, qui conduit à

FOCUS AUTRES SOURCES D'EXPOSITION

La dose efficace annuelle peut varier très significativement d'un individu à l'autre en fonction de ses habitudes.

Exposition médicale

L'exposition médicale (à visée diagnostique) moyenne de la population française est estimée à 1,6 mSv/an et celle à l'échelle mondiale à 0,6 mSv/an. Néanmoins, cette exposition médicale peut varier fortement en fonction des actes d'imageries pratiqués et atteindre plusieurs dizaines de mSv [8].

Exposition liée au transport aérien

Lors d'un vol en transport aérien, passagers et équipage sont soumis à des rayonnements cosmiques constitués de particules L'exposition parcourent l'espace. au rayonnement cosmique augmente avec l'altitude, car l'atmosphère absorbe une partie de ce rayonnement. Pour un vol donné, la dose totale de rayonnement cosmique reçue est d'autant plus élevée que la durée du vol est importante. Les doses reçues par les passagers sont évaluées à l'aide de l'outil SIEVERTPN (https://www.sievert-system.org) (Système d'information et d'évaluation par vol de l'exposition au rayonnement cosmique dans les transports aériens). Pour un vol d'une heure entre deux îles polynésiennes la dose est ainsi d'environ 0,0004 mSv. Par exemple, pour un aller-retour Papeete Bora-Bora (arrondi à 2 fois 1 heure de voyage), la dose est estimée à environ 0,0008 mSv. Pour un vol Papeete Paris aller-retour, la dose due au rayonnement cosmique est estimée à environ 0,06 mSv en 2023-2024.

Exposition liée à l'alimentation

La forte consommation de produits marins peut engendrer une exposition par ingestion plus élevée qu'un régime alimentaire plus diversifié. Les concentrations en ²¹⁰Po et en ²¹⁰Pb sont en effet plus élevées dans les produits marins

Exposition liée à la consommation de tabac

Les consommateurs de tabac sont également exposés à l'inhalation de radionucléides naturels présents dans les cigarettes. Cette exposition peut par exemple atteindre 0,3 mSv/an pour une consommation de 20 cigarettes par jour [9]. L'exposition moyenne pour un fumeur de Polynésie française a été estimée à 0,165 mSv/an à partir des statistiques du rapport STEPS 2019 (consommation moyenne de 11 cigarettes par jour pour les 18-69 ans - [3]).



4.3. EVOLUTION DE LA DOSE EFFICACE ANNUELLE AJOUTEE PAR LA RADIOACTIVITE ARTIFICIELLE A TAHITI DEPUIS 1975

La dose efficace annuelle ajoutée par la radioactivité artificielle a été calculée entre 1975 et 2024 (Figure 29).

Entre 1975 et 1981, la dose a été estimée à la demande du CIVEN [10] principalement sur la base des résultats d'analyses par spectrométrie gamma et de strontium 90 effectuées par le Service mixte de contrôle biologique (SMCB) dans des échantillons des principales denrées produites et consommées dans quatre communes de l'île de Tahiti. Les calculs ont été effectués selon la ration alimentaire utilisée par le SMCB de 1975 à 1978 et reprise au milieu des années 2000 par le ministère de la Défense pour ses évaluations dosimétriques relatives aux conséquences de certains essais, qui considère une plus grande consommation de denrées locales. Cette ration alimentaire est identique pour Hitiaa, Paea et Teahupoo tandis qu'une ration alimentaire spécifique a été utilisée pour la commune de Papeete. De 1982 à 1993 la dose engagée par l'ingestion pour les adultes

résidant à Tahiti a été calculée à partir de la mesure de l'activité dans les denrées collectées dans quatre communes de l'île et à partir de 1994, les résultats étant peu différenciables d'une commune à l'autre, le calcul de la dose efficace annuelle n'a été réalisé que pour la commune de Papeete. La ration alimentaire n'étant pas actualisée depuis plusieurs années, le calcul de la dose ingestion est effectué depuis 2016 à partir de la mesure de la radioactivité dans des plateaux-repas collectés à Tahiti.

La dose efficace a diminué progressivement dans le temps, sauf en 1987 où les produits importés de l'hexagone étaient contaminés par les retombées de l'accident de Tchernobyl et sont à l'origine du doublement de la dose par rapport aux autres années.

Depuis le début des années 2000, la dose efficace ajoutée par la radioactivité artificielle s'est stabilisée à moins de 3 µSv/an.

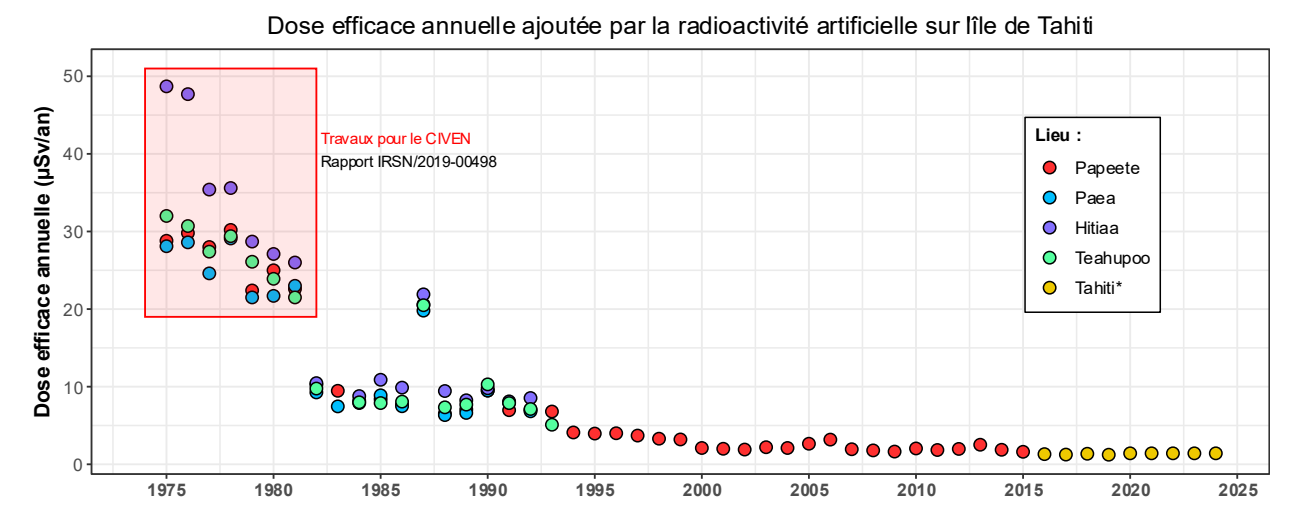


Figure 29 : Évolution dans le temps de la dose efficace annuelle (μSv/an) ajoutée par la radioactivité artificielle pour les adultes de Tahiti. Quatre communes étaient différenciées jusqu'en 1993. La contribution de la dose ingestion a été calculée entre 1982 et 2015. *A partir de 2016 la dose a été calculée en analysant des plateaux-repas. Entre 1975 et 1981 les doses ingestions ont été estimées à la demande du CIVEN selon les mesures du SMCB.



CONCLUSION

En 2023-2024, l'ASNR a poursuivi la surveillance radiologique des sept îles situées dans les cinq archipels de la Polynésie française que l'autorité suit régulièrement depuis 1998, en intégrant deux îles supplémentaires (l'atoll de Takapoto situé dans l'archipel des Tuamotu et l'île haute de Bora-Bora dans l'archipel de la Société). Au total, 30 prélèvements ont été effectués dans les milieux (air et eaux) et 302 pour les denrées alimentaires (poissons de haute mer et de lagon, bénitiers, légumes, fruits, viandes, lait…).

Les analyses faites sur ces échantillons ont permis de répondre à deux objectifs :

- connaître les niveaux de radioactivité d'origine artificielle et leurs évolutions dans tous les milieux de l'environnement et dans les denrées alimentaires consommées;
- estimer les expositions de la population qui en résultent.

Résultats des mesures de radioactivité artificielle en 2023-2024

Les niveaux de radioactivité artificielle mesurés sont dans la continuité de ceux obtenus ces dernières années avec un seul radionucléide artificiel décelé, le ¹³⁷Cs ·

- Il a été décelé à l'état de traces (0,07 ± 0,03 µBq/m³ en moyenne annuelle) dans les aérosols prélevés à Tahiti.
- Les concentrations dans l'eau de mer prélevée à Tahiti (Vairao et Teahupoo) sont de 0,91 ± 0,01 mBg/L.
- Il n'a pas été décelé dans l'eau de pluie prélevée à Tahiti.
- Pour l'ensemble des denrées alimentaires analysées, les concentrations sont toujours extrêmement faibles, souvent inférieures à 0,1 Bq/kg de matière fraiche :
 - Quelques résultats sont supérieurs à 1 Bq/kg frais pour les denrées du domaine terrestre avec une valeur maximale de 7,1 Bq/kg frais observée dans la viande de bœuf du plateau de Taravao à Tahiti.
 - ▶ Pour les **poissons** (haute mer et lagon), les valeurs maximales obtenues n'excèdent pas 0,3 Bq/kg frais. Il est rarement décelé dans les **bénitiers**, et lorsque c'est le cas, les valeurs sont proches des seuils de décision.
- Aucun autre radionucléide d'origine artificielle émetteur gamma n'a été détecté dans les échantillons analysés.

Exposition des populations

L'exposition de la population aux rayonnements ionisants quasi-exclusivement d'origine est naturelle. Le rayonnement cosmique et les radionucléides d'origine naturelle présents dans les sols et dans les denrées (principalement, 210Po, 210Pb, 226Ra et ¹⁴C) contribuent, hors exposition médicale, pour plus de 99% à l'exposition de la population. Le principal radionucléide d'origine artificielle présent dans les sols et dans les denrées est le ¹³⁷Cs qui contribue très faiblement à l'exposition. Le plutonium et le 90Sr ne contribuent pas du tout à l'exposition externe et très faiblement à l'exposition interne par ingestion d'aliments.

En 2023-2024, la dose efficace totale (somme des expositions externe et interne par ingestion et inhalation) est estimée en moyenne à 1,7 mSv par an pour un adulte habitant Tahiti, hors exposition médicale. Pour les îles hautes, le radon contribue à hauteur de 0,46 mSv/an avec la prise en compte du nouveau coefficient de dose introduit dans la réglementation française en 2023 suite à l'actualisation des connaissances scientifiques sur le radon.





Afin de faciliter la compréhension et l'intercomparaison des résultats, la taxonomie des échantillons est précisée dans le tableau suivant. Pour la Polynésie, la traduction est en tahitien selon les informations obtenues sur www.farevanaa.pf/dictionnaire.php.

Nom commun	Nom scientifique	Nom tahitien
Agneau	Ovis aries	'Arenio
Ananas	Ananas comosus	Painapo
Arbre à pain	Artocarpus altilis	'Uru
Aubergine	Solanum melongena	Hua pua'aniho
Avocat	Persea americana	'Avota
Banane	Musa paradisiaca	Mei'a
Bénitier	Tridacna maxima	Pāhua
Bœuf	Bos taurus	Pua'atoro
Bonite à ventre rayé	Katsuwonus pelamis	Tâmae, 'auhopu, toe, toheveri
Carotte	Daucus carota	Tāroti
Chèvre	Capri hirsus	Pua'aniho
Chou chinois	Brassica chinensis	Pota 'ava'ava
Citron	Citrus aurantifolia	Tāporo
Concombre	Cucumis sativus	Tōtoma
Espadon	Xiphias gladius	Ha'urā
Loche (1)	Serranidae	Tarao
Mangue	Mangifera indica	Vî
Manioc	Manihot esculenta	Māniota
Marlin	Makaira nigricans	Ha'urā
Mérou (1)	Serranidae	Hâpu'u, Tarao, Roi
Mérou céleste	Cephalopolis argus	Roi
Navet	Brassica rapa	Nāvē
Noix de coco (chair)	Cocos nucifera	'ōpa'a; ha'ari
Noix de coco (eau)	Cocos nucifera	Via via
Pamplemousse	Citrus decumana	'Anani papa'ā
Papaye	Carica papaya	'Tītā
Pastèque	Citrullus lanatus	Merēni
Patate douce	Ipomoea batatas	'Umara
Poisson de haute-mer		l'a nô tua
Poissons de lagon		l'a nô roto
Porc	Sus scrofa	Pua'a

Poulet	Gallus gallus	Moa
Riz	Oriza sativa	Raiti
Salade	Lactuca sativa	Rauota
Taro (tubercule)	Colocasia esculenta	Taro
Thazard	Acanthocybium solandri	Pāere
Thon à dents de chien	Gymnosarda unicolor	Va'u
Thon blanc (thon germon)	Thunnus germo	'A'ahi tari'a
Thon jaune	Thunnus albacore	'A'ahi re'are'a
Thon à nageoires jaunes (thon rouge albacore)	Neothunnus albacora macropterus	'A'ahi perepererau
Thon obèse (thon rouge)	Thunnus obesus	'A'ahi tātumu
Tomate	Lycopersicum esculentum	Tōmāti

⁽¹⁾ Pour le milieu marin, lorsque l'imprécision porte sur le nom de l'espèce, seule la famille à laquelle appartient l'échantillon est indiquée.

Pour les noms tahitiens, l'accent circonflexe doit normalement être remplacé par un "macron", c'est-à-dire un petit trait placé au-dessus de la voyelle pour indiquer qu'il s'agit d'une voyelle longue.



⁽²⁾ Sauf mention complémentaire, les prélèvements de lait concernent l'espèce bovine.

REFERENCES

BIBLIOGRAPHIE

- [1] UNSCEAR, «Report to the general assembly», 2024.
- [2] ASNR, «Surveillance de la radioactivité en Polynésie française Annexes au bilan 2023-2024», 2025.
- [3] INSEE, «Les populations légales de Polynésie française. www.insee.fr», 2023.
- [4] J.O., «Arrêté du 1er septembre 2003 définissant les modalités de calcul des doses efficaces et des doses équivalentes résultant de l'exposition des personnes aux rayonnements ionisants», 2003.
- [5] IRSN, «Exposition de la population française aux rayonnements ionisants. Bilan 2014-2019.», 2021.
- [6] ICRP, «Occupational intakes of radionuclides Part 3» ICRP Publication 137. Ann ICRP, vol. 46, pp. 3-4, 2017.
- [7] IRSN, «Bilan de la surveillance de la radioactivité en Polynésie française en 2019-2020 Synthése des résultats du réseau de surveillance de l'IRSN», 2021.
- [8] UNSCEAR, «Report to the general assembly», 2020-2021.
- [9] L. Desorgher, A. Berthet, J. Rossier, F. Bochud et P. Froidevaux, «Dosimetry in the lungs of α-particles (210Po) and β-particles (210Pb) present in the tobacco smoke of conventional cigarettes and heated tobacco products» *Journal of Environmental Radioactivity*, vol. 107178, p. 7, 2023.
- [10] IRSN, «Evaluation de l'exposition radiologique des populations de Tureia, des Gambier et de Tahiti aux retombées des essais atmosphériques d'armes nucléaires entre 1975 et 1981», 2019.



LISTE DES ILLUSTRATIONS ET DES TABLEAUX

Figures

Figure 1 : Tahiti (archipel de la Société)
Figure 2 : Reitoru (atoll des Tuamotu de l'est)
Figure 3 : Localisation des îles de Polynésie française retenues dans le programme de surveillance radiologique 2023 2024
Figure 4 : Laboratoire de métrologie gamma du LESE.
Figure 5 : Débits de dose gamma ambiant mesurés chaque semaine par les balises Téléray de Papeete et Paea entre 2017 et 2024, et à Vairao dans le cadre du déploiement d'une balise Spider lors de l'épreuve de surf des Jeur Olympiques 2024.
Figure 6 : Station haut débit pour le prélèvement sur filtre des aérosols
Figure 7 : Concentration du ¹³⁷ Cs en μBq/m³ dans les aérosols prélevés à Orsay et Tahiti de janvier 1971 à décembre 2024
Figure 8 : Concentration du ¹³⁷ Cs en mBq/L dans l'eau de mer océanique ou lagonaire de la zone économique exclusive (ZEE) de la Polynésie française de 1982 à 2024
Figure 9 : Actions de sécurisation de l'épreuve des Jeux Olympiques de Paris 2024 mises en place par l'ASNR à Tahi
Figure 10 : Préparation par lyophilisation des denrées alimentaires10
Figure 11 : Répartition des prélèvements des denrées alimentaires en 2023-202410
Figure 12 : Concentration du ¹³⁷ Cs en Bq/kg frais dans les échantillons de poissons pélagiques prélevés au voisinage des îles des cinq archipels de Polynésie française en 2023-20241
Figure 13 : Concentration du ¹³⁷ Cs en Bq/kg frais dans les poissons pélagiques, toutes espèces confondues, prélevé au voisinage des côtes polynésiennes entre janvier 1998 et décembre 2024
Figure 14 : Concentration du 137Cs en Bq/kg frais dans les poissons de lagon, toutes espèces confondues, prélevés dans les lagons des îles des cinq archipels de Polynésie française entre janvier 1998 et décembre 2024. Les résultats non significatifs (inférieurs au seuil de décision) ne sont pas indiqués
Figure 15 : Concentration du ¹³⁷ Cs en Bq/kg frais dans les échantillons de poissons de lagon (ou poissons de récifs) prélevés dans les lagons polynésiens des îles des cinq archipels de Polynésie française en 2023-2024
Figure 16 : Concentration du ¹³⁷ Cs en Bq/kg frais dans la chair des bénitiers prélevés dans les lagons des îles de quatro archipels de Polynésie française entre janvier 1998 et décembre 2024. Les cercles vides indiquent les valeurs inférieures aux seuils de décisions
Figure 17 : Concentration du ¹³⁷ Cs en Bq/L frais dans le lait de vache produit à Tahiti entre 1966 et 2024
Figure 18 : Concentration du ¹³⁷ Cs en Bq/kg frais dans la chair des animaux d'élevage des îles des cinq archipels de Polynésie française et importées de Nouvelle-Zélande en 2023-2024
Figure 19 : Concentration du ¹³⁷ Cs en Bq/kg frais dans la chair des animaux d'élevage des îles des cinq archipels de Polynésie française et importées (principalement de Nouvelle-Zélande) entre janvier 1998 et décembre 202420
Figure 20 : Concentration du ¹³⁷ Cs en Bq/kg frais dans les fruits et légumes des îles des cinq archipels de Polynésie française et dans le riz importé de Thaïlande en 2023-2024. La concentration du riz est en Bq/kg sec20
Figure 21 : Concentration du ¹³⁷ Cs en Bq/kg frais dans la chair de coco et Bq/L frais dans l'eau de coco des îles de cinq archipels de Polynésie française en 2023 et 2024.
Figure 22 : Concentration du ¹³⁷ Cs en Bq/kg frais dans les fruits et légumes des îles des cinq archipels de Polynésie française et dans le riz importé (principalement de Thaïlande et d'Australie) entre 1998 et 2024. La concentration du riz est en Bq/kg sec
Figure 23 : Concentration du ¹³⁷ Cs en Bq/kg frais dans la chair de coco et Bq/L frais dans l'eau de coco des cincarchipels de Polynésie française entre 1973 et 2024
Figure 24 : Concentration du ¹³⁷ Cs en Bq/L frais dans le jus d'ananas (fait à partir des ananas cultivés à Moorea mesurée entre 2001 et 2024
Figure 25 : Fruits utilisés pour la fabrication de l'huile de Tamanu et Calophyllum inophyllum sur Moorea



Figure 26 : Exemples de doses efficaces reçues et limites réglementaires d'exposition	24
Figure 27 : Mesures de débit de dose externe (µSv/h) réalisées à Tahiti entre 2010 et 2024	26
Figure 28 : Exposition aux rayonnements ionisants à Tahiti (en mSv/an), hors exposition médicale	27
Figure 29 : Évolution dans le temps de la dose efficace annuelle (μSv/an) ajoutée par la radioactivité artificielle adultes de Tahiti. Quatre communes étaient différenciées jusqu'en 1993. La contribution de la dose ingestic calculée entre 1982 et 2015. *A partir de 2016 la dose a été calculée en analysant des plateaux-repas. Entre 1981 les doses ingestions ont été estimées à la demande du CIVEN selon les mesures du SMCB	n a été 1975 et
Tableaux	
Tableau 1 : Comparaison des concentrations moyennes annuelles (μBq/m³) des ¹³⁷ Cs, ⁷ Be, ²² Na, ⁴⁰ K et ²¹⁰ Pb α aérosols prélevés sur filtres à Tahiti et à Orsay (France) de 2022 à 2024	
Tableau 2 : Dose efficace engagée en 2023 et 2024 par l'inhalation des radionucléides mesurées par spectr gamme dans les aérosols de Vairao (Tahiti).	



ASNR

Pôle Santé et Environnement Direction de la recherche et de l'expertise en environnement

E-mail

contact@asnr.fr

N° du rapport

Rapport ASNR 2025-00484 Tous droits réservés ASNR Octobre 2025

Photo de couverture :

Raiatea (archipel de la Société) Crédits photos : ASNR-PSE/ENV-SERPEN/LESE





Siège social : 15 rue Louis Lejeune 92120 Montrouge

Adresse postale : BP 17 - 92262 Fontenay-aux-Roses cedex

Divisions territoriales: asnr.fr/nous-contacter

info@asnr.fr Tél.: 01 58 35 88 88







